

大腸菌外膜タンパク質の生合成調節
機構の分子遺伝学的解析

松山伸一

名古屋大学図書	
和	1003107

報告番号 Z 第 3316 号

目次

序論

第1部 *ompF, ompC* 遺伝子の発現調節
とその生理的意義：融合
遺伝子を用いての解析

9

第1章 実験方法

11

第2章 実験結果

18

第3章 考察

29

第2部 *micRNA - アンチセンス*

RNA

33

第1章 実験方法

37

第2章 実験結果

38

第3章 考察

47

第3部 *OmpR* と *EnvZ* タンパク質の相 互作用

51

第1章 実験方法

55

第2章 実験結果

57

第3章 考察

64

第4部 *ompF, ompC* 遺伝子の発現に影 響を及ぼす RNA ポリメラーゼ

ゼの変異	67
第一章 実験方法	69
第二章 実験結果	70
第三章 考察	75
総括	79
引用文献	88
謝辞	128
報文目録	129

本論文では以下の略語を用いた。

DNA デオキシリボ核酸

RNA リボ核酸

mRNA 伝令リボ核酸

bp base pairs

kb kilobase pairs

Tris Tris-(hydroxymethyl)-aminomethane

SDS ラウリル硫酸ナトリウム

EDTA ethylenediaminetetraacetate

序論

大腸菌をはじめとするグラム陰性細菌の外膜の研究は、MiuraとMizushima(1)による大腸菌外膜の分離、精製法の確立に端を発し、その構成成分や構造、機能の解析が進展した。大腸菌の細胞表層は、外側より外膜、ペプチドグリカン層、細胞質膜という3層より形成されている。外膜と細胞質膜の間に、各種分解酵素やアミノ酸結合タンパク質などの可溶性タンパク質が局在するペリプラスーム空間がある。外膜は、外葉がリポ多糖、内葉がリン脂質から成る非対称的二重層にタンパク質が組み込まれた構造をとっている。内毒素であるリポ多糖は、最近化学構造が確定したリビPA(2), オリゴ糖および側鎖から成る両親媒性の物質である。また、外膜のリン脂質の主成分は、細胞質膜と同様にホスファチジルエタノールアミンとホスファチジルグリセロールである(3)。外膜に含まれるタンパク質は、細胞質膜に較べて種類が少なく、主要外膜タンパ

ク質と呼ばれる $OmpA$, $OmpC$, $OmpF$ および主要リポタンパク質が細胞あたり $10^5 \sim 10^6$ 分子も存在する(3)。

外膜は、ペプチドグリカンと相互作用して細胞表層の構造維持に寄与している。Yamada & Mizushima(4)は細胞表層の再構成系を開発し、

$OmpF$, $OmpC$ タンパク質およびリポ多糖から成る膜状のヘキサゴナル格子構造が結合型リポタンパク質を介してペプチドグリカン層上に保持されており、これが表層の基本構造であることを示した。そして、 $OmpF$, $OmpC$ タンパク質が表層構造の維持に寄与していることが生細胞レベルでも明らかにされた(5)。

また、外膜は抗生物質や界面活性剤に対する透過障壁となりており、この障壁としての機能に重要な役割を果たしているのがリポ多糖である。このことは、リポ多糖の O 側鎖やオリゴ糖の一部を欠いた rough 株や EDTA 处理でリポ多糖を遊離した細胞では、抗生物質や界面活性剤に対して感受性が高まるこ

から示唆された(6)。

外膜は透過障壁として機能している一方、外膜には糖やアミノ酸などの有用な親水性低分子物質のための透過孔が存在する(7)。OmpF、
OmpCタンパク質は、この透過孔を形成する代表的なタンパク質である。また、外膜に存在するタンパク質やリポ多糖は、種々のバターリオファージやコリシンのリセプターとなる。T4ファージの感染機構は、上述の細胞表層の再構成系を用いて詳細に解析され、感染過程と表層成分の役割が分子レベルで明らかにされた(8)。

生物界には種々の生体膜が存在するが、その構造と機能が明らかにされているものは少ない。その中で大腸菌外膜は、最も深く理解されている生体膜のひとつと言つてよい。しかしながら、膜構成成分の生合成の調節機構に関しては、大腸菌外膜の場合でさえも研究の歴史が浅く、筆者がこの研究に参入した頃はまだ緒についたばかりである。

生体膜は細胞と外部環境との生理的な境界であると同時に、細胞内にあっては機能を異にする多くのオルガネラの構造および機能を決定している基本的構造体である。したがつて、膜構成成分の生合成が量的にも質的にもかつ時間的にも厳密な制御の下に置かれていることは想像に難くない。

膜タンパク質の生合成の調節機構の研究を行なう上で、大腸菌外膜は格好の材料である。¹⁰それは外膜のタンパク質組成が比較的単純であり、ごく少な^い種類の安定なタンパク質を大量に含んでいるからである。

筆者は、膜タンパク質合成の調節機構の研究材料として *OmpF*, *OmpC* タンパク質を選んだ。¹⁵分子量約 37000 の *OmpF*, *OmpC* タンパク質は、ともに三量体を形成し(9)、上述したように細胞表層構造の維持や物質の透過孔としての機能をもつて^{いる}。

また、アミノ酸配列

の相同性から、この二つのタンパク質をコードする遺伝子は共通の祖先遺伝子に由来した

ものであると考えられている(10)。

OmpF, OmpCタンパク質はその構造や機能が極めて類似している（厳密には、OmpFの形成する透過孔がOmpCのそれよりもやや大きく、透過物質に対する親和性も異なっている(11)。ま

た、バクテリオファージやコリシンドに対するリセプター活性にも特異性がある(3)。）にもかかわらず、この2つのタンパク質の合成は培地浸透圧変化によって全く逆の影響を受けるこ

¹⁰とが Kawaji⁽¹²⁾や van Alphen S⁽¹³⁾によって見出された。浸透圧の低い培地で生育させた菌の外膜には OmpFタンパク質のみが存在しているが、ショ糖や食塩を加えて培地浸透圧を高めると OmpFの合成は抑制され、OmpCの合成が促進される。このように培地浸透圧変化によって外膜中にみられるタンパク質の量が変化する現象は、浸透圧変化による遺伝子発現の調節という意味で osmoregulation と呼ばれている。

この現象の解明は膜タンパク質遺伝子の発現調節機構という観点からだけではなく、外

界からの刺激に応答した遺伝子発現の機構、およびタンパク質の膜透過の過程に関する制御機構の研究対象としても興味深い。

$OmpF$, $OmpC$ タンパク質の合成に関する遺伝学的研究は、1970年代中頃から Fouldsら(14)や Reevesら(15)を中心として、まず $OmpF$, $OmpC$ タンパク質をリセプターとするバクテリオファージやコリシングを用いた変異株の分離から始められた。 $OmpF$, $OmpC$ タンパク質の合成に関する複数の遺伝子が見出されたが、それぞれの遺伝子の機能が明らかにされたのは 1980 年頃である。 Hall と Silhavy(16, 17, 18) はこれらの遺伝子のプロモーター領域と β -ガラクトシダーゼ遺伝子を遺伝学的手法により融合させ、それらのプロモーター活性を β -ガラクトシダーゼを測定することによって解析できる系を作成した。この解析から、 $OmpF$, $OmpC$ タンパク質の構造遺伝子として、それぞれ ompF(大腸菌染色体地図上で 21 分), ompC(47 分) 遺伝子が同定された。また、ompB 領域(74 分)には ompR と envZ

の 2 つの 遺伝子 が オペロン を 形成 し、 ompF、
ompC 遺伝子 の 発現 を 転写段階 で 正に 調節 し
 て いる こと が 明らか に な れた。 そし て、 筆者 が
 研究 を 始め た 時点 で は、 これら の 遺伝子 の う
⁵ち ompF、 ompR、 および envZ 遺伝子 は クローニング
 さ れ (19, 20)、 DNA の 全 塩基 配列 が 決定 さ れて
 い た (21, 22, 23) (筆者 は ompF の 塩基 配列 決定 に 参加
 し た)。

この よう な 背景 の もと に、 筆者 は、 ompF、
¹⁰ompC 遺伝子 の 発現 調節 機構 の 研究 を 始め た。
 第 1 部 で は、 ompF と ompC 遺伝子 の プロモータ
 ー 領域 を 相互 に 入れ 換え た 融合 遺伝子 を 用い
 て 解析 から、 ompF、 ompC 遺伝子 の 発現 調節 機構、
 および 培地 浸透圧 变化 に 応答 し た 両 遺伝子 の
¹⁵発現 の 生理 的 意義 について 論じる。 第 2 部 で
 は、 ompF 遺伝子 に 対する アンチセンス RNA を
 コード す る micF 遺伝子 の 欠失 変異 株 の 解析 か
 ら、 micF RNA の 生理 的 機能 について 考察 する。
 第 3 部 で は、 envZ 変異 を ompR 変異 が 抑制 し
 た 結果 を もと に、 OmpR と EnvZ タンパク質 が 相互

作用して ompF, ompC 遺伝子の発現を調節していることについて述べる。第4部では、OmpR 変異による envZ 変異の抑制が RNA ポリメラーゼの変異によって妨げられた結果を通して、OmpR, EnvZ, および RNA ポリメラーゼの相互作用と、転写の際にみられる RNA ポリメラーゼの分子の方向性について考察する。

第1部

ompF, ompC 遺伝子の発現調節とその生理的意義：融合遺伝子を用いての解析

OmpF, OmpCタンパク質は構造や機能が極めて類似しているが、その合成は培地浸透圧変化によって全く逆の影響を受ける。低浸透圧下では OmpF が、高浸透圧下では OmpC がそれぞれ優先的に合成される(12,13)。このような合成の切換えかいかなる生理的意義をもっているのかを調べるために、ompF と ompC 遺伝子のプロモーター領域を相互に交換した融合遺伝子を作成した。OmpF, OmpC 遺伝子の発現がプロモーター依存性であるならば、作成した融合遺伝子によって、低浸透圧下では OmpC が、高浸透圧下では OmpF がそれぞれ優先的に合成されるはずである。実際、作成した融合遺伝子からは、培地浸透圧変化に対する応答が野生型遺伝子の場合とは全く逆に OmpF, OmpC タンパク質が合成された。しかしながら、この融合遺

伝子を保持する菌の生育は野生株と較べて全く正常であったことから、通常用いられてゐる試験管内培養条件下では、*OmpF*, *OmpC* 両成の培地浸透圧変化に応答する切換えは大腸菌にとつて必須のものではないことが示唆された。

また、遺伝子発現の調節機構の面からは、培地浸透圧変化に応答して *ompF*, *ompC* 遺伝子の発現調節にはプロモーター領域が重要であり、かつ、両遺伝子間には発現を相互に調節し合う機構が存在していることが示唆された。

第1章 実験方法

(1) 細菌, バクテリオファージおよび既存のプラスミド

本研究で用いられた大腸菌 K-12 株, バクテリオファージおよび既存のプラスミドを Table I-1 に示した。形質転換実験に用いられた K-12 株は野生株を除いてすべて recA 株である。Y0160 recA と CE1036 recA は thyA⁺ をマーカーに、SM1005, SM1006 および SM1007 は srl⁺ をマーカーにして KL16-99 Nal^r を供与菌とした接合によって recA 変異が導入された。recA 変異は紫外線感受性にて調べられた。thyA 変異株はトリメンブリムを用いて Stacey's (24) の方法で分離された。後述する融合遺伝子の発現に関する実験に用いられた SM1005, SM1006 および SM1007 は ompR と envZ 遺伝子を除いてすべて遺伝子組成が同じである。

(2) 培地

ompC, ompF および融合遺伝子の発現に関する実験には medium A₍₁₂₎ (Nutrient broth (Difco), 1g Yeast

extract (Difco), 3.7g K_2HPO_4 , 1.3g KH_2PO_4 , 2g グリセリン/l) を使用し、ショ糖の添加により浸透圧を調整した。形質転換実験には T Y ブロス (10g Bacto-Trypton (Difco), 5g Yeast extract (Difco) / l) を用いた。最小培地として M9 培地 (15.1g $Na_2HPO_4 \cdot 12H_2O$, 3g KH_2PO_4 , 0.5g NaCl, 1.0g NH_4Cl , 0.1g $MgSO_4 \cdot 7H_2O$, 1g グルコース / l) を用いた。必要に応じて、ナリジキシン酸, アンピシリン, クロラムフェニコール, ストレプトマイシン, およびテトラサイクリンがそれぞれ 5, 50, 25, 100 および $10 \mu g/ml$ の濃度で添加された。

(3) P1 形質導入

バクテリオファージ P1kc による形質導入実験は Miller⁽²⁵⁾ の方法により行なった。

(4) 接合

Hfr 株を用いて接合実験は Miller⁽²⁵⁾ の方法により行なった。

(5) バクテリオファージ TuIa と TuIb に対する感受性テスト

バクテリオファージ TuIa と TuIb に対する感

受性は medium A 寒天培地および 15% (w/v) ショ糖を含した medium A 寒天培地上でのクロスストリーカテストによって調べた。

(6) エンベロープの調製と Triton X-100 による可溶化

10ml の medium A あるいはショ糖の添加された medium A で対数増殖期後期まで生育させた菌を寒菌後、0.5ml のナトリウム-リン酸緩衝液 (pH 7.2) に懸濁した。大岳ソニケーター 5201 型を用いて 20W、2 分間超音波破碎を行った。1400×8、10 分間の遠心分離により未破碎細胞を除いた後、100000×8、30 分間の遠心分離にて得られる画分をエンベロープとして用いた。このエンベロープ画分を 4ml の 2% Triton X-100 - 10mM ナトリウム-リン酸緩衝液に懸濁し 37°C、15 分間インキュベートした。Triton X-100 不溶性画分は 100000×8、30 分間の遠心分離により得られ、2ml の 10mM ナトリウム-リン酸緩衝液 (pH 7.2) で洗浄したもののが外膜タンパク質として用いた。タンパク質は Lowry らの

方法により定量された。

(7) 尿素 - SDS ポリアクリルアミドゲル電気泳動

尿素 - SDS ポリアクリルアミドゲル電気泳動は Uemura と Mizushima(26) の方法によった。ゲルの組成は 8% アクリルアミド, 0.13% N,N' -メチレン-ビスアクリルアミド, 8M 尿素, 0.5% SDS 0.1M ナトリウム-リン酸緩衝液 (pH 7.2) である。泳動緩衝液は 0.1M ナトリウム-リン酸緩衝液 (pH 7.2), 0.1% SDS である。泳動後, ゲルを 20% (w/v) スルホサリチル酸中に一晩浸してタンパク質を固定し, 0.25% クーマッシープリリシアントアルール-R-250 で 37°C, 2 時間染色した。脱染色には 7.5% 酢酸を用いた。

(8) 遺伝子組換え技術のために用いた試薬
制限酵素 RsaI (J New England Biolabs の製品より購入した。) その他の制限酵素と T4 リンゴー ゼは 宝酒造より 購入した。バクテリアアルカリ フォスファターゼは Worthington Biochemical Corp. の製品が、また、T4 ポリヌクレオチド

キナーゼは P.L. Biochemicals の製品が用いられた。 $[\gamma-^{32}P]ATP$ は $[^{32}P]$ オルトリニン酸 (Amersham Int'l.) と ADP (Sigma) より Johnson と Walseth⁽²⁷⁾ の方法で合成された。

(9) 大腸菌染色体DNAの調製

大腸菌染色体DNAの調製は Nakamura⁽²⁸⁾ の方法に基づいて調製され、100ml TYプロスで培養して菌体より 2mg の染色体DNAが得られた。

(10) プラスミドDNAの調製

プラスミドDNAは Birnboim と Doly⁽²⁹⁾ のアルカリ変性法に基づいて行われた。

(11) DNAのためのゲル電気泳動

500 bp 以上のDNA断片は 0.8% アガロースゲルで、500 bp 以下のDNA断片は 5% アクリルアミドゲルで電気泳動を行った。泳動緩衝液には TBE緩衝液 (50mM Tris-borate (pH8.3) - 1mM EDTA) を用いた。分子量マーカーとしてエラーゼDNAの HindIII断片と PstI断片を用いた。泳動後、0.5μg/ml のエチジウムプロマイドで染色し、紫外線照射によりDNAを検出した。

(11) DNA断片の調製

DNA断片はエレクトロエルーション法(30)によりゲルから溶出し、調製した。

(12) フィルタハイブリダイゼーション

*ompC*遺伝子のクローニングのため、Fig.1Aに示された540 bpの*Rsa*I-P*Vu*II断片はpLF11より得た。MaxamとGilbert(31)の方法に従って5'末端を³²Pでラベルした。このDNA断片をハイブリダイゼーションのプローブとして用いた。

制限酵素で切斷されたMH70, MH118の染色体DNAを1レン 10 μgずつのせて0.8%アガロースケル電気泳動を行なった。泳動後、Southern(30)の方法に従ってニトロセルロースフィルター(HAWP304FO, Millipore Corp.)にDNAを移行させ、80°C, 3時間真空中で固定した。ニトロセルロースフィルターを50%ホルムアミド-5×SSC(0.15M NaCl-0.015Mクエン酸ナトリウム, pH7.0)存在下で 6×10^6 cpm/mlのプローブと4°C, 3日間ハイブリダイズさせた。ニトロセルロースフィルターは50%ホルムアミド-5×SSCと2×SSCで

洗浄後、オートラジオグラフィーを行なった。

(13) DNA の塩基配列の決定

DNA の塩基配列の決定は Maxam と Gilbert⁽³¹⁾ の方法により行なった。

(14) バクテリアアルカリフオスファターゼ処理

ベクター-DNA を単一の制限酵素で切断したとき、セルフライケーションを防ぐためにバクテリアアルカリフオスファターゼ処理を行なった。

(15) T4 DNA リガーゼによるDNA断片の連結

T4 DNA リガーゼによるDNA断片の連結は Weiss と Richardson⁽³²⁾ の方法により行なった。

(16) 形質転換

・プラスミドによる形質転換は Dager と Ehrlich の方法により行なった。

第2章 実験結果

(1) ompC 遺伝子のクローニング。

ompC と ompF 遺伝子のプロモーター領域を相互に置換した融合遺伝子を作成するためには ompC と ompF 遺伝子のクローンが必要である。

ompF 遺伝子のクローニングは Mutoh ら(19)によつて行なわれ、その全塩基配列は Inokuchi ら(21)によつて決定された。そこで筆者は ompC 遺伝子のクローニングを試みた。

Ichihara らによつて決定された OmpC と OmpF タンパク質のアミノ酸組成および N 末端のアミノ酸配列の結果より(10), ompC と ompF 遺伝子との間には広範囲にわたつて DNA 塩基配列上高い相同意が存在することが予想された。従つて Fig. I-1 に示されているように、ompF の構造遺伝子の一節をコードしている DNA 断片をプローブとしてサザンハイブリダイゼーションを行なうことにより ompC 遺伝子を検索した。しかし ompF 遺伝子をプローブとして場合、ompC 遺伝子の他に ompF 遺伝子はもとより

Lugtenberg S(34)によつて ompF 遺伝子と高い相同意の
あることが証明されていて phoE 遺伝子、その他未知の遺伝子が検出されることになり ompC
遺伝子の同定が困難になると考へられた。そこで次のような方法をとつた。染色体DNA
は MH70 と MH118 より調製され、それぞれ EcoRI,
HindIII, BamHI および SalI で切斷されハイブリダイ
ゼーション解析が行なわれた。MH118 は ompC
遺伝子に Mu ファージが挿入されていることを
除いて MH70 と 遺伝子組成が同じである(16)ので
ハイブリダイゼーション解析の結果、MH70 の
場合には出現するが MH118 の場合には出現しない
バンドが ompC 遺伝子を含むものであると考
えられた。

このような予測に一致するDNA断片として 2.7 kb HindIII 断片が得られた。この断片
はアガロースゲル電気泳動により精製され、
クローニングベクター pACYC184 の HindIII 部位に
クローン化された。宿主菌として ompC 変異株
である CE1036 recA を用い、クロラムフェニコ

ール耐性となつた形質転換菌 900 株を得た。これらの中のうち 3 株が OmpC タンパク質をリセプターとするバクテリオファージ TuIB に対して感受性であった。これら 3 株の外膜タンパク質を尿素-SDS ポリアクリルアミドゲル電気泳動で調べた結果、3 株とも OmpC タンパク質と同じ移動度を示す外膜タンパク質を合成していた。また、ompC 遺伝子は Mizuno ら(35)によつてもクローニングされた。SalI, BamHI, EcoRI, BglII, HincII, PvuII および PstI を用いて作成された 2.7kb HindIII 断片の制限酵素の切断地図は、Mizuno ら(36)のものと一致した。以上の結果より筆者はこれら 3 株が保持しているプラスミドには無傷の ompC 遺伝子がクローニングされてゐると結論した。これら 3 株が保持していたプラスミドのうちの 1 つを pMAN002 と命名し、以下の実験に用いた。

(2) ompC, ompF 遺伝子のプロモーター領域を相互に置換した融合遺伝子の作成。
ompC, ompF 遺伝子について成熟タンパク質

のN末端付近をコードする部分の相同性は極めて高く⁽³⁶⁾、成熟タンパク質のN末端から12番目のアミノ酸残基をコードする部分にはともにBglII部位が存在する。このBglII部位とそれぞれの遺伝子のプロモーターのかなり上流に存在するSalI部位を利用して、pMAN002とompF遺伝子がクローニングされているpLF4の中でSalI-BglII断片を相互に入れ換えた(Fig.1-1AとFig.1-2)。このようにして作成したプラスミドのひとつであるpMAN003にはompCのプロモーター、シグナルペプチドおよび成熟タンパク質のN末端から11番目までのアミノ酸残基をコードする領域とN末端から11番目までのアミノ酸残基が欠けたOmpFタンパク質をコードする領域から成る融合遺伝子がクローニングされている。他方、pMAN004にはpMAN003のものとは逆の構造の融合遺伝子がクローニングされている。この論文では以下これらの融合遺伝子をそれぞれCp-FおよびFp-Cと略して表わす。これに準じてompC, ompF遺伝子を

それぞれ [C_p-C], [F_p-F] と表わすことがある。OmpC と OmpF タンパク質の N 末端から 11 番目までのアミノ酸残基のうち 9 個のアミノ酸残基が同じである。異なるのは 3 番目 (OmpC では Val, OmpF では Ile) と 11 番目 (OmpC では Leu, OmpF では Val) のアミノ酸残基で、その特性は類似している。これらのことより、[C_p-F] および [F_p-C] 遺伝子において ompC と ompF プロモーターの支配下に合成されるタンパク質はそれぞれ本質的には OmpF と OmpC タンパク質であると考えられる。

pMAN003 と pMAN004 にそれぞれクローニングされた融合遺伝子の一次構造は制限酵素 EcoRI, SalI, HindIII, BglII, PvuII, PstI および HincII を用いた解析により調べた。その結果は ompC と ompF の制限酵素の切断地図より予測される結果と一致した(21,36)。融合遺伝子の融合点 (BglII 部位) 前後の塩基配列は Fig. 1-B に示されて DNA 断片について Maxam と Gilbert(31) の方法により確めた。

Fig.1-2とTable1-2に示されているように、pLF4 pMAN002, pMAN003およびpMAN004を用いて一連のプラスミドが作成された。ベクターとして少コピーニュースプラスミドであるpSC101由来のpkEN403を用いた。各プラスミドの一次構造は上述した制限酵素を用いて解析により確めた。pMAN010にクローン化された融合遺伝子[F_p-C]はpMAN004にクローン化された[F_p-C]とは独立に作られたので、融合点前後の塩基配列をFig.1-1Bに示された断片について確めた。

(3) 融合遺伝子の発現。

融合遺伝子の発現はSM1005(ompC ompF)を用いて行なった。対照実験としてpkEN403にそれぞれ独立にクローン化されたompCとompF遺伝子の発現を調べた。単独にクローン化されたompCとompF遺伝子の発現はともに培地浸透圧変化に対してほぼ構成的であり、ompF遺伝子の場合わずかに浸透圧変化に応答しているにすぎなかつた(Fig.1-3A, Lane 1~4)。

[F_p-C]のみがクローニングされたpMAN010によって形質転換されたSM1005ではOmpCタンパク質と同じ移動度を示すタンパク質が合成された。一方、[C_p-F]のみがクローニングされたpMAN009の場合にはOmpFタンパク質と同じ移動度を示すタンパク質が合成された。両融合遺伝子とも浸透圧変化に対してほとんど構成的に発現し、[F_p-C]の場合わずかに浸透圧変化に応答しているにすぎなかつた。これら融合遺伝子によって合成されるOmpCやOmpFタンパク質と同じ移動度を示すタンパク質はTriton X-100に不溶性であり、ここから外膜に存在することが示唆された⁽³⁷⁾。またそれらのタンパク質が発現した菌はそれぞれバクテリオファージTuIbとTuIaに感受性となつた。TuIbとTuIaはそれぞれOmpCとOmpFタンパク質をリセプターとするバクテリオファージである⁽³⁸⁾。以上の結果より、[F_p-C]と[C_p-F]遺伝子によって合成されたタンパク質はシケナルペプチドが正常に切断され、分泌され、機能できる形で

外膜に組み込まれたと結論した。以下、[F_p-C] と [C_p-F] 遺伝子によって合成されるタンパク質をそれぞれ OmpC*, OmpF* と略す。先に述べたように、OmpC*, OmpF* タンパク質は OmpC, OmpF タンパク質と N 末端付近の 2 個のアミノ酸残基が異なるものである。

[C_p-C] と [F_p-F] 遺伝子が同時にクローニングされた pMAN008 によって形質転換された菌では OmpC と OmpF タンパク質の発現は浸透圧変化に対して極めて正常に応答した。つまり高浸透圧下では OmpC タンパク質が、低浸透圧下では OmpF タンパク質がそれぞれ優先的に合成された (Fig. 1-3A, lane 5, 6)。対照的に [F_p-C] と [C_p-F] 遺伝子が同時にクローニングされた pMAN011 を保持した菌では OmpC* と OmpF* タンパク質が浸透圧変化に対して全く逆に応答して合成された。つまり低浸透圧下で OmpC* が、高浸透圧下では OmpF* がそれぞれ優先的に合成された (Fig. 1-3A, lane 11, 12)。これらの結果より、プロモーター領域が浸透圧変化に応答して遺伝子発現

に重要な役割を担っており、それに続く構造遺伝子領域は無関係であることがわかった。しかし $OmpC^*$ は $OmpF$ のシグナルペプチドを、 $OmpF^*$ は $OmpC$ のシグナルペプチドを持った前駆体として合成される。従ってシグナルペプチドおよびそれをコードする DNA 領域が浸透圧に応答した発現の調節に関与している可能性は否定できなかつた。

(4) ompR2 および envZ 株における融合遺伝子の発現。

ompR2 変異を有する菌と envZ 変異を有する菌はそれぞれ $OmpC^-OmpF^+$ および $OmpC^+OmpF^-$ の表現型を示す(18)。ompR2 変異株である SM1007 (ompC ompF ompR2) が先に述べた一連のプラスミドによつて形質転換された場合、プロモーターに続く遺伝子の種類や浸透圧変化とは無関係に ompF プロモーター支配の遺伝子発現が強く、ompC プロモーター支配の遺伝子発現は極めて弱かつた(Fig.1-3B)。一方、envZ 変異株である SM1006 (ompC ompF envZ) においては ompC プロモータ

一支配の遺伝子が強く発現し、ompFプロモーター支配の遺伝子発現は弱かつた（Fig.1-3 C）。これらの結果より ompR2変異や envZ変異の影響はプロモーター領域に作用することがわかった。

ここで指摘しておかなければならぬことがある。それは ompR2 および envZ 株ではそれそれ ompC と ompF プロモーター支配の遺伝子発現が抑制されており、おその残存活性はプロモーターに依存して浸透圧変化に応答したということである（Fig.1-3 B&C）。

なお、envZ 株においては [Cp-F] がクロニ化された pMAN009 による形質転換菌が得られた。

(5) 融合遺伝子を有する菌の生育。

OmpC, OmpF タンパク質の発現は培地浸透圧変化によって切り換えられる。この生理的意義を調べるために [Cp-C] [Fp-F] を持つ pMAN008 と、[Cp-F] と [Fp-C] をもつ pMAN011 によって形質転換されて SM1005 (ompC ompF ompR2⁺)

envZ⁺)の生育を比較した。用いた培地は mediumA および mediumA に 20% (w/v) ショ糖が含まれたものである。これら 2 つの菌では浸透圧変化に応答して合成されるタンパク質が全く逆であるにもかかわらず (Fig. 1-3A, lane 5, 6 と lane 11, 12)、生育に関しては全く差が見られなかつた。このことは、少なくとも本実験の行なわれた条件下では OmpC, OmpF タンパク質の合成の切り換えが菌の生育にとって必ずしも重要ではないうことを示した。

第3章 考察

大腸菌外膜タンパク質 $OmpC$, $OmpF$ は構造的機能的に極めて類似している(3)。しかしその合成は培地浸透圧変化によって全く逆の影響を受ける。つまり高浸透圧下では $OmpC$ が、低浸透圧下では $OmpF$ が優先的に合成される(12)。両タンパク質は親水性低分子の透過小孔(7)としてあるいは細胞表層構造の安定性に寄与する構造体(5)としてその生理的重要性が指摘されてい る。それにもかかわらず、なぜ浸透圧に応答して両タンパク質の合成が切り換わるのか、その生理的意義は明らかにされていない。

本研究において遺伝子組換え技術を用いて融合遺伝子を作成し、 $OmpC$, $OmpF$ タンパク質を通常の場合とは全く逆に浸透圧に応答して合成せることに成功した。つまり融合遺伝子により低浸透圧下で $OmpC^*$ が、高浸透圧下で $OmpF^*$ が優先的に合成された(Fig. 1-3A)。しかし通常用いられて いる試験管内培養条件下では菌の生育に関する浸透圧に応答した合成の切

り換えの重要性は見出せなかつた。当研究室のNarai(39)が分離したK-12株の変異株ではOmpCタンパク質が合成されず、OmpFタンパク質は高浸透圧下でのみ合成された。この変異株は親株と較べて生育に関して全く正常であつた。またE.coliB株にはOmpFタンパク質だけしか存在せず、その合成は浸透圧の影響をあまり受けない(40)。これら的事実は筆者の得た結果を支持するものである。

しかしこれらのことはK-12株における両タンパク質合成の切り換えの重要性を否定するものではない。筆者はpMAN009 ([C_p-F])によるSM1006 (ompC ompF envZ)の形質転換株を得ることができなかつた。pMAN006 ([C_p-C])やpMAN007 ([F_p-F])による形質転換株は容易に得られたことから考えて、この事実はenvZ変異株においてompCプロモーター支配下に行なわれるOmpFタンパク質の合成が菌の生育にとって不都合であることを示していると思われる。[C_p-C]と[F_p-F]がクローン化され

た pMAN008 および [Cp-F] と [Fp-C] がクローン化された pMAN011 を保持する 2 種類の菌を共存させ、いろいろな条件下で培養することによりその生理的意義を明らかにすることができますかもしれない。

[Cp-C], [Fp-F], [Cp-F], [Fp-C] がそれぞれ単独でクローン化された場合、それらの遺伝子は浸透圧変化とほとんど無関係に高いレベルで発現した (Fig. 1-3 A)。これとは対照的に [Cp-C] と [Fp-F] が 1 つのプラスミドにクローン化された場合、OmpC, OmpF シンパク質は浸透圧に応答して合成された。このことは ompC と ompF 遺伝子の間に相互に発現を調節し合う機構が存在する可能性を示唆した。また、[Cp-F] と [Fp-C] が 1 つのプラスミドにクローン化された場合にも遺伝子発現は浸透圧変化に応答したことから、この相互調節にはプロモーター領域が重要な役割を担っていることが示された。

ompR2 および envZ 变異は、それぞれ ompC プロ

口モーター一かより ompF プロモーター支配の遺伝子発現を抑制する(18)。しかし、プロモーター活性が抑制されてもなほその残存活性は浸透圧変化に対して応答することが見出された(Fig. 1-3 BとC)。この研究を行は、た當時、筆者は、この結果より ompR および envZ 遺伝子が、浸透圧変化に応答した ompF, ompC 遺伝子の発現調節に第一義的には関与していることが示唆されたと考えた。しかし、その後、Inokuchiら(41)や Ramakrishnanら(42)によって見出された翻訳以降の段階での調節の結果、上述の現象が観察されたと考えるに至った。

第2部

micF RNA - アンチセンス RNA

Watson と Crick⁽⁴³⁾の DNA の二重らせんモデルを基礎に、1961年、Jacob と Monod⁽⁴⁴⁾によってオペロン説が提唱されて以来、遺伝子発現の調節機構を分子レベルで理解しようとする試みが30年近くにわたってなされてきた。その間、明らかにこれまでに代表的な遺伝子発現の調節機構として、アミノ酸合成系におけるアニュエーションモデル⁽⁴⁵⁾やリボソームタンパク質合成におけるフィードバック制御⁽⁴⁶⁾などがあげられる。遺伝子発現の調節機構の研究において、膜タンパク質遺伝子は新しい研究対象であり、今までに知られていない新奇な調節機構の存在が期待された。

筆者は第1部の研究の過程で、ompCプロモーターおよびその上流領域を含む約1kbのDNA断片がクローニングされた多コピープラスミドを保持する菌について、ompF遺伝子の発

現が完全に抑制されることを見出している(47)。Mizunoら(48)は、この抑制因子が ompC プロモーターの上流にコードされている約 170 塩基の RNA 分子であることを明らかにした。驚くべきことに、この低分子 RNA は ompF mRNA の 5' 末端部分と相補的配列をもつてあり、この低分子 RNA と ompF mRNA は安定な二本鎖構造を形成すると考えられた。その結果、ompF mRNA の翻訳開始に必要なリボソーム結合部位と開始コドンを含む領域が低分子 RNA によって完全に覆われてしまい、ompF mRNA の翻訳が阻害されると考えられた。この低分子 RNA は micF (mRNA-interfering complementary) RNA と呼ばれ、その遺伝子は micF 遺伝子と名付けられた。さらに興味深いことに、micF 遺伝子の発現は ompF 遺伝子の発現が抑制される高濃度圧下で誘導され、ompR、envZ 遺伝子によって調節されていた。これらの結果をもとに、micF 遺伝子が osmo-regulation において中心的な役割を担っているというモデルが提唱された(49)。これは遺伝子

発現の調節機構を考える上で全く新しい概念であり、大きな反響を呼んだ。

筆者は、osmoregulation に関する新しい見出された第三の調節遺伝子である micF の機能を詳しく調べるために、染色体上に存在する micF 遺伝子の欠失変異株を作成し、解析した。その結果、培地浸透圧を低浸透圧状態から高浸透圧状態にシフトさせた直後における OmpF タンパク質の合成の抑制には micF RNA が必ずかかわらぬ寄与をしているが、浸透圧変化における定常状態では micF 欠失変異株における ompF の発現は野生株と同じであった。このことから、染色体上に存在する 1 コピーの micF 遺伝子は osmoregulation において中心的な役割をもつてゐないと結論づけた。また、多コピー数プラスミドにクローニングされた micF 遺伝子は ompF 遺伝子の発現を抑制することができたが、少コピー数プラスミドにクローニングされた micF では ompF の発現を抑制できなかつたことから、micF による ompF の発現の抑制は、遺

伝子量に依存していることが明らかになった。

5

10

15

第1章 実験方法

(1) 菌株, バクテリオファージ, プラスミド

本研究で用いられた大腸菌 K-12 株, バク

テリオファージおよびプラスミドを Table 2-1
に示した。

(2) その他の方法

培地, PI 形質導入, バクテリオファージ

TuJb に対する感受性テスト, エンベロープの

調製と Triton X-100 による可溶化, 尿素 - SDS

ポリアクリルアミドゲル電気泳動, 遺伝子操作技術は、第1部と同じである。なお, HindIII

リシンカ- (dCAAGTTG) と BamHI リシンカ- (dC
GGATCCG) は、宝酒造から購入した。

第2章 実験結果

(1) プラスミド pMAN036 の作成

染色体上の micF 遺伝子は次の方法で欠失させた。まず、micF 遺伝子自身は欠乏、その前後の隣接領域の DNA 断片がクローニングされてプラスミドを作成した。次に、プラスミドにクローニングされた DNA 断片とこの断片に相当する染色体上の領域を置換させた。この目的のために、pMAN036 が作成され、その詳しい方法は Fig. 2-1 に示した。個々のプラスミドの構造は制限酵素の切断によって解析した。

pMAN05 および pMAN018 をエキソヌクレアーゼ Bal31 で処理し、それから pMAN024 および pMAN028 を作成した。pMAN024 の場合、micF の転写終結領域の 550 bp 下流に存在する SalI 部位から micF プロモーターまでを Bal31 で消化した。

pMAN028 の場合、ompC 遺伝子に存在する BglII 部位から micF の転写終結領域近くまでを Bal31 で消化した。

pMAN024 と pMAN028 をもとにして pMAN029 を作成

した。pMAN029 は micF 遺伝子の前後の隣接領域を運んでいるが、micF 遺伝子の代わりにカナマイシン耐性 (Km^r) 遺伝子がクローン化されている。この pMAN029, pKM004, より pEL3 から pMAN036 が作成された。pMAN036 は、micF 遺伝子が Km^r 遺伝子に置換された ompC-micF 領域と温度感受性の複製開始点、および lpp プロモーターによって発現する lacZ-lacY 遺伝子群を運んでいる。

(2) 染色体 micF 遺伝子の欠失

micF 欠失変異株は、染色体上の micF-ompC 領域と pMAN036 の Km^r -ompC 領域との相同的組換えによる置換を利用して作成した (Fig. 2-2)。温度感受性複製開始点をもつプラスミドを利用したことによって、プラスミドを染色体に組込ませることができた。また、 Km^r 遺伝子と lac 遺伝子を利用することによって、micF 欠失変異株の選択が容易になった。

まず、MC4100 (Δlac) を pMAN036 で形質転換させ、30°C で 2 時間生育させた。次いで、カナ

マイシン 30 mg/ml を含む乳糖 - マッコンキー培地上で 42°C で一晩培養した。pMANO36 の複製開始点は温度感受性なので、pMANO36 が染色体に組込まれた形質転換株のみが 42°C でも生育できるはずである。大部分の形質転換株は赤色を呈した ($Km^r Lac^+$)。これは、pMANO36 が領域 A あるいは B (Fig. 2-2) のどちらか 1 点の組換えで染色体に組込まれたことを示した。しかし、形質転換株の約 1% が白色を呈した ($Km^r Lac^-$)。
もし、Fig. 2-2 で示した理論どおりのことば形質転換株で起こっているならば、 $Km^r Lac^-$ 形質転換株は micF 欠失変異株である。

(3) micF 欠失変異候補株の染色体構造の解析
micF 欠失変異候補株 SM3001 における micF - ompC 領域の解析は、次の 3 つの方法で行なった。まず、SM3001 を供与菌、H0201/ompC を受容菌として PI 形質導入を行なった。300 の Km^r 形質導入株はすべて $OmpC^+$ にわたっていた。このことは、染色体上で Km^r 遺伝子が ompC 遺伝子の極めて近傍に存在していることを示した。

次に、SM3001の染色体上に micF 遺伝子が存在していることを証明するために、ササンハイブリダイゼーションを行なった。pMAN002 にクローニングされている micF-ompC 領域を含む 2.7 kb HindIII 断片をプローブにした場合、HindIII で切断した野生株の染色体 DNA では予想通り 2.7 kb の位置にバンドが見られた (Fig. 2-3A, lane 2)。一方、HindIII で切断した SM3001 の染色体 DNA では 4.2 kb の位置にバンドが見られた (Fig. 2-3A, lane 3)。このバンドの位置は、micF の代わりに Km^r 遺伝子を運んでいる ompC 領域がクローニングされた pMAN033 の HindIII 断片と同じであった。ササンハイブリダイゼーションは、さらに micF 遺伝子の大部 分を含む 120 bp 断片を用いて行なわれた。HindIII で切断した野生株の染色体 DNA では 2.7 kb の位置にバンドが見られたが、SM3001 では注目すべきバンドが見られなかつた (Fig. 2-3B)。ただし、極めて薄いバンドが 4.2 kb の位置に見られた。これは、SM3001 の 4.2 kb 断片の中にプローブとして

用いた120bp断片と同じ部分が17bp含まれていたためである。このことは、後述するDNAの塩基配列の解析で明らかになった。

最後に、SM3001の染色体DNAから micF-ompC 領域を再度クローニングし、DNAの塩基配列を決定した。SM3001の染色体DNAを HindIIIで切断して、4.2kb断片を pACYC184の HindIII部位にクローニングした。このプラスミドを CE1036recA (ompC変異株) を形質転換し、 Cm^r Km^r で選択した。¹⁰ 次いで、この形質転換株すべてが、OmpCタンパク質をリセプターとするバクテリオファージT4Ibに対して感受性になったことを確認した。また、クローニングされた4.2kb断片が pMAN036 のそれと全く同じであることを制限酵素による切断解析で確めた。この結果より、SM3001の染色体は pMAN036 由来の4.2kb HindIII断片を運んでいると結論した。4.2kb断片を再度クローニングしたプラスミド pMAN042 を用いて、micF 遺伝子が欠失していることをDNAの塩基配列を決定することによって直接確かめ

た。DNAの塩基配列を決定した領域はFig. 2-4Aに示した。この結果、micF遺伝子はプロモーター領域とはほぼ大部分のコード領域(micFRNAの3'末端をコードするごく一部分は欠失している)が欠失していることが明らかになった。以上3つの実験から、micF遺伝子は染色体上に1コピーだけしか存在せず、そのmicF遺伝子がほぼ完全に欠失していたSM3001は確かにmicF欠失変異株であると結論された。

(4) micF欠失変異株におけるompF,ompCの発現
micF遺伝子は、ompFmRNAの5'末端側と相補的な配列をもつ低分子RNAをコードしている。そして、micFRNAは、ompFmRNAの翻訳を阻害する。このmicFRNAによる阻害が、浸透圧変化に応答してompFの発現にとって重要な役割を果していると提唱されていた(49)。従って、micF欠失変異株ではompF発現の抑制が解除されることが期待された。しかしながら期待に反して、micF欠失変異株におけるompFの発現は浸透圧変化に応答し、しかも強く(5倍)なった。

った。また、予想とは逆に、ompFの発現がわずかに抑制され、ompCの発現が強くなり、ていた(Fig. 2-5)。この現象は第3章で考察する。とにかく、ompFの発現は強くならず、浸透圧変化に応答したのは事実である。このことは、micF遺伝子が野生株におけるompFの発現に重要な役割を果たしていないことを示唆した。

(5) ompF発現におけるmicFのコピー数の影響
 多コピー数プラスミドにクローニングされたmicF遺伝子は、ompF遺伝子の発現を抑制した(48)。一方、上述の結果より明らかになつたように、染色体上の1コピーのmicF遺伝子はompFの発現を抑制できなかつた。そこで、micF遺伝子をコピー数の異なるプラスミドにクローニングし、ompF遺伝子の発現に及ぼす影響について調べた。多コピー数プラスミドとしてpBR322、少コピー数プラスミドとしてpKEN403を用いた。micF遺伝子を含むDNA断片は、plasmid III (49)から調製し、pBR322とpKEN403にクローニングし、それからpMAN055とpMAN056を作成した(Fig.

2-6)。pMAN055とpMAN056のコピー数の比は、MC4001を宿主とした場合5:1であった。

pMAN055でMC4100を形質転換させた場合、ompFの発現が完全に抑制された(Fig. 2-7, lane 1)。

一方、pMAN056の場合、ompFの発現の抑制は見られなかつた(Fig. 2-7, lane 2)。この結果は、培地浸透圧とは無関係に観察された。pMAN056の複製開始点はpSC101由来なので、染色体あたりのコピー数は6と考えられた(57)。したがつて、染色体上の1コピーのmicF遺伝子が、ompF遺伝子の発現に影響を与えるか、たのは当然であると思われる。

(6) ompFの発現に対する染色体 micFの機能

染色体上の1コピーのmicF遺伝子が、ompF遺伝子の発現に対して本当に機能をもつてないのかをより詳細に検討した。低浸透圧培地から高浸透圧培地に移した後、経時的に1分間のパルスラベルを行なってOmpFタンパク質合成の減衰の度合いを調べた。MC4100(野生株)の場合、高浸透圧培地に移して10分後には、

OmpF の合成はほぼ完全に抑えられた。これに
対して SM3001 (ΔmicF) の場合には、OmpF の合
成が抑制されるのに 15 分以上の時間を要し、
かつ、その抑制は完全ではなかつた (Fig. 2-8
A, B, C, D)。これららの結果は、micF 遺伝子は
osmoregulation において中心的な役割を果たして
いりかが、OmpF タンパク質の合成を鋭く、し
かも完全に浸透圧変化に応答せする役割をも
つてゐると考えられた。なお、この(6)の成果
は饗場浩文氏との共同研究によるものである。

第3章 考察

プラスマミド上の遺伝子を染色体上の遺伝子と置換する方法は、いくつかすでに開発されていて(58,59,60)。これらの方の基本条件は、プラスマミド自身に複製能力がないこと、染色体にプラスマミドが組込まれただけのものと組込まれた後に離脱したものとを区別できることが二つである。筆者が開発した方法の特徴的な点は、まず、 Km^r 遺伝子と lac遺伝子を用いたことによって、置換後の表現型が予測できなくてもマッコンキー培地上で Km^r Lac⁻の1回の選択で効率よく目的のものが得られることがある。また、温度感受性の複製開始点をもつプラスマミドを用いることによって、宿主に制限がなくなりたことも特徴である。この方法は、染色体上の遺伝子を欠失するのに極めて有用であり、micF遺伝子以外にもすでにいくつかの遺伝子で成果をあげている(61,62)。

この方法で得られた micF 欠失変異株は、いくつかの解析によって確認された。また、こ

の過程で、micF 遺伝子は染色体上にひとつしか存在しないことも確かめられた。以前に提唱された micF の機能から予測された結果に反して、micF 欠失変異株における ompF の発現は浸透圧変化に応答し、しかも強くならなか、たことから、染色体上の 1 コピーの micF 遺伝子は ompF 遺伝子に対して重要な役割を担っていなないと考えられる。

Fig. 2-5において、低浸透圧下で ompC の発現がわずかに強くなり、ompF の発現がわずかに抑制された。染色体上で micF と ompC のプロモーターは互いに隣接している(49)。したがって、RNA ポリメラーゼを奪い合っていふと考えられる。micF のプロモーターが欠失すると、奪い合っていいた RNA ポリメラーゼが一方的に ompC の発現に寄与することになり、ompC の発現が強くなると考えられる。ompF の発現の抑制はこの ompC 発現の増強のためにあらう。

多コピー数プラスミドに micF がクローニングされた場合は ompF の発現は完全に抑制された

が、少コピーナンスプラスミドの場合には抑制されなかつた。このことは、micFによるompF発現の抑制が遺伝子量に依存していることを示唆しているとともに、染色体上の1コピーのmicFでは osmoregulationにおいて中心的な役割をもつことが不十分であることも物語つていい。また、プラスミドは遺伝学的解析を行なうために広く用いられていいが、プラスミド上で解析は生理的条件を反映していると考え難い場合もある。micFの解析で得られた結果は、この危険性を端的に示していい。

micFは潜在的にはompFの発現を抑制する能力をもつていい。詳細な解析の結果、低浸透圧から高浸透圧へシフトした直後におけるompF合成の抑制にmicFが寄与していることが明らかになつた(Fig. 2-8)。micFは、浸透圧変化に応答してompFの発現の抑制をすばやく、完全に行なわせるために機能していると考えられる。

浸透圧変化に応答したompF, ompC遺伝子の

発現調節の第一の機構は、ompRとenvZによる
転写段階での調節である。次いで、micFによ
る翻訳段階での調節である。また、OmpF, OmpC
タンパク質のコード領域における調節も知ら
れている(41,42)。このように、OmpF, OmpCタンパク質
の合成は幾重にも厳密な制御のもとに行なわ
れているのである。

第3部

OmpRとEnvZタンパク質の相互作用

HallとSilhavy(16,17,18)は、ompF-lacZ、ompC-lacZの融合遺伝子を用いた一連の研究から、ompF、ompC遺伝子の発現調節機構に関するモデルを提唱した。それによると、まず培地浸透圧変化を細胞表層に存在するEnvZタンパク質が感知し、細胞質に存在するOmpRタンパク質の単量体-多量体の構造変換を調節する信号を発する。OmpR単量体はompF遺伝子の発現を、OmpR多量体はompC遺伝子の発現を転写段階で促進せん。このモデルは、当時の研究レベルから考えて驚くべきほど洞察力に富んでいた。その後の研究で確かにEnvZタンパク質は細胞質膜に存在し(67)、OmpRタンパク質はompF、ompC上流領域と相互作用する正の調節因子であることが明らかにされた(63,68,69)。しかし、OmpRタンパク質が単量体-多量体の構造変換をすると、この点に関しては、生化学的解析から否定的結果が

得られている(70)。

Naraを中心に筆者も参加して種々の OmpR 変異株が単離し(39,71)、その変異部位も DNA の塩基レベルで同定した(71)。その結果、OmpRタンパク質の N 末端側には OmpC の発現を調節するドメインが、C 末端側には ompC の発現に必須なドメインが存在すると考えられた。

また、ompF, ompC 遺伝子の発現調節における両遺伝子のプロモーター、およびその上流領域の重要性は詳細に調べられた。ompF, ompC プロモーターは、ともに十分な機能をもつためにその上流約 70 bp の領域を必要とし(63,69)、この領域には両遺伝子間で高い相同意が見出された(69)。この上流領域は、OmpRとの相互作用に重要なであろうと考えられていて、事実、精製された OmpRタンパク質は特異的に両遺伝子のプロモーターの上流領域に結合することが証明された(70)。また、ompF の OmpR結合領域では、DNA が折れ曲がった構造をとっていることが見出され、遺伝子発現の調節との関係が注目

かれている(72)。

EnvZタンパク質は osmosensor であろうと考えられている。しかし、その実験的証拠はなく、EnvZの機能はほとんど明らかにされていなかった。また、浸透圧変化という刺激がいかに認識され、どのような信号に変換されて遺伝子発現に影響を与えてているのかという情報伝達の機構も全く未知である。

筆者は、envZ変異株の抑制変異株の取得によりこれらの問題に取り組んだ。envZII変異株は $OmpF^-OmpC$ constitutive の表現型を示す。この変異株の中から $OmpF^+OmpC^+$ の表現型を示すようになった株を取得し、解析した結果、envZII変異は保存されたままで抑制変異が ompR 遺伝子に生じていたことを明らかにした。そして、この ompR 変異だけでは野生株と同じ表現型を示すこと、この変異型 ompR の機能は envZ 依存性であること、および、この変異型 ompR は envZII 以外の envZ 変異を抑制しないことから、OmpR と EnvZ タンパク質は直接相互作用

用して ompF, ompC 遺伝子の発現を調節していく
ことが強く示唆された。

第一章 実験方法

(1) 菌株、バクテリオファージ、プラスミド。
本研究で用いられた大腸菌 K-12 株、バクテリオファージおよびプラスミドを Table 3-1 に示した。

(2) プラスミドの作成

ompB 領域のクローニングは次のように行なった。ompB 領域を含む 5.3kb BamHI-SalI フラグメントを SM6001 と YO160 の染色体 DNA から単離し、pMAN043 にクローニングして、それより pMAN057 と pMAN115 を得た。種々の変異をもつ ompB 領域のクローニングは、Fig. 3-1 に示した方法で行なった。HpaI 部位の BamHI 部位への変換は、HpaI 部位に BamHI リンカー (dCGG ATCCG) を挿入することによって行なった。
pMAN102 と pMAN103 における envZII 変異は、変異の結果生じた HaeIII 部位が実際に HaeIII で切断されることによって確認した。

(3) アルカリ性ホスファターゼの活性測定

アルカリ性ホスファターゼの活性測定は、

Brickman と Beckwith(78) の方法に従った。

(4) その他の方法

培地、PI形質導入、バクテリオファージ TuJa と TuJb に対する感受性テスト、エンベロープ調製と Triton X-100 による可溶化、尿素-SDS ポリアクリルアミドゲル電気泳動、遺伝子操作技術は、第 1 部と同じである。なお、DNA の塩基配列の決定は Sanger(77) の方法で行った。

第2章 実験結果

(1) envZII 抑制変異株の単離

MH1461 は envZII 変異株であり、 $OmpF^-OmpC^-$ constitutive ($OmpC^c$) の表現型を示す(17)。この菌の古い培養液から、 $OmpF$ と $OmpC$ の合成が培地浸透圧変化に正常に応答するようになり、た後帰変異株が高頻度で単離された(Fig.3-2)。これらのうちの1株を SM6001 と命名し、以下の研究に用いた。

SM6001 が真の復帰変異株なのか、あるいは envZII 変異とは別の所に新たに変異が生じて偽似復帰変異株なのかを調べるために、P1形質導入実験を行なった。SM6001 を供与菌として、MH19aroB を受容菌として用いたとき、aroB⁺ には、た形質導入株のうち 5% が EnvZII の表現型 ($OmpF^-OmpC^c$) を示した。これらの株を envZ 遺伝子をクローニング化された pAT2004 で形質転換すると、野生型の表現型 ($OmpF^+OmpC^+$) を示した。また、MH1461 (envZII 変異株) を供与菌として、MH19aroB を受容菌として形質導入

を行なったとき、50%以上のが *aroB*⁺形質導入株が *EnvZII* の表現型を示した。これらの結果は、SM6001 が *envZII* 変異を保持したままであり、かつ *aroB*-*envZ* 領域に存在する第2の変異によって *envZII* 変異が抑制されていることを示唆した。この抑制変異は *sez* (suppressor of *envZ*) と命名された。

(2) 染色体上における *sez* 変異と *envZII* 変異の同定

まず、*sez* 変異が *ompR* と *envZ* 遺伝子から成る *ompB* 領域に存在するのか否かを検討した。SM6001 の染色体 DNA を *Bam* HI と *Sal* I で切断し、*ompB* 領域を含む 5.3 kb 断片を pMAN043 にクローニングした (Fig. 3-1, Fig. 3-3)。このとき宿主として OmpF^C OmpC⁻ の表現型を示す *ompR2* 変異株である MH760 *recA* を用い、OmpC⁺ による形質転換株を選択した。*ompB* 領域を運んでいることは、制限酵素による切断解析で確かめた。このようにして得た pMAN057 と野生型 *ompB* 領域を運ぶ pMAN059 を用いて、Fig. 3-3 に示したように断片

Aを相互に交換して、キメラ ompBを作成した。さらに、これら4種類の ompB領域は miniF プロダスミド pMF21 にクローニングされ、SG480076(ΔompB)を形質転換するのに用いられた。

野生型 ompB領域を運ぶ pMAN104 によって形質転換された ΔompB株は、浸透圧変化に応答して正常に OmpF, OmpC を合成した (Fig. 3-4, lane 7 & 8)。一方、野生型の断片 A と SM6001 由来の断片 B から成るキメラ ompBを運ぶ pMAN103 の場合には、EnvZII (OmpF⁻OmpC^c) の表現型を示した (Fig. 3-4, lane 5 & 6)。これらの結果は、envZII 変異が断片 B に存在することを示唆した。SM6001 由来の ompBを運ぶ pMAN101 の場合には、断片 B に envZII 変異が存在しているにもかかわらず OmpF⁺OmpC⁺ の表現型を示した (Fig. 3-4, lane 1 & 2)。これらのことから、sez 変異は断片 A に存在すると結論された。なお、envZII 変異は存在せず、sez 変異のみが存在する ompBを運ぶ pMAN102 の場合には、野生型と同じ表現型を示したことから、sez 変異単独ではなんら特別な表現型をもちえ

ことが明らかになった。

また、Fig. 3-3 に示した断片 C に sez 変異が存在していることは、次の実験により確認された。 sez, envZII の両変異を運ぶ pMAN057 由来の断片 C を、envZII 変異のみを運ぶ pMAN097 の断片 C と置換した。このようにして作成した pMAN125 で SG480476 (Δ ompB) を形質転換したら、野生型の表現型を示した。この結果より、断片 C に sez 変異が存在していることが明らかになった。

sez 変異と envZII 変異の正確な位置を決定するためには、SM6001 (envZII sez), MH1461 (envZII), および野生株由来の 2.7 kb AvaI-HpaI 領域の塩基配列を解析した。SM6001 と MH1461 では、ともに EnvZ タンパク質の N 末端から 247 番目のアミノ酸残基が Thr から Arg に変わったミスセンス変異が生じていた (Fig. 3-5)。この変異が envZII 変異である。一方、sez 変異は ompR 遺伝子内に存在していた。そこで、sez 変異をもつ ompR 遺伝子を ompR77 と名付けていた。

て、この変異はOmpRタンパク質のN末端から16番目のアミノ酸残基をLeuからGlnに変えるミスセンス変異であることが明らかになった。なお、変異点に関しては、両DNA鎖の塩基配列を決定することによって確認した。

(3) ompR77はenvZ11変異によって生じる多面表現型を抑制する

envZ11変異はOmpF-OmpC^Cの表現型を引き起すだけではなく、LamB⁻やPhoA⁻の表現型も引き起こす(80,81)。SM6001(envZ11 ompR77)は、野生株と同様に、マルトース存在下でLamBタンパク質を合成した(Fig. 3-6)。しかし、MH1461(envZ11)はLamBを合成しなかった。また、同じ結果はPhoAタンパク質についても得られた。これらの結果から、ompR77は、envZ11変異によって引き起こされる種々の表現型を抑制することができる。

(4) ompR77の機能はenvZ依存性である
ompR77は、envZ⁺のもとではなんら表現型を示さないが(Fig. 3-4, lane 3と4)。言い方

えると、*ompR77 envZ⁺*、*ompR77 envZ11*、および
*ompR⁺ envZ⁺*はいずれも $OmpF^+OmpC^+$ の表現型を示
 した。これらのことから、*ompR77*は *envZ*の機能
 とは無関係に独立して $OmpF^+OmpC^+$ の表現型
 を示す可能性が考えられた。この可能性を検
 討するために、*ompR77 ΔenvZ* 株を作成した (Fig.
 3-1A)。pMAN057 (*ompR77 envZ11*) 由来の断片 A を
 miniF プラスミド pMF21 にクローン化した。こ
 のプラスミド pMAN099 によって形質転換工法で
 SG480476 (*ΔompB*) は、本質的に *ompR77 ΔenvZ* であ
 り、*ompR⁺ ΔenvZ* 株と同じ表現型を示した (Fig.
 3-4, lane 9-14)。この結果は、*ompR77*が機能
 するためには *envZ*が必要であることを示唆し
 た。

(5) *ompR77*は *envZ* 遺伝子に生じた特定の変異
 しか抑制しない

envZ160 変異株である YO160 は、*envZ11* 変異株
 と同じ表現型 ($OmpF^-OmpC^c$) を示す。YO160 の
ompB 領域をクローン化して pMAN115 を用いて
envZ160 変異を同定した。この変異は、EnvZ Δ

ンパク質の N 末端から 35番目のアミノ酸残基を Leu から Gln に変えるミスセンス変異であり (Fig. 3-5), envZ11 変異とは異なっていた。ompR77 と envZ160 変異をもつ ompB 領域を pMF21 にクローニ化し (Fig. 1C)、このプラスミド pMAN215で SG480Δ76 (ΔompB) を形質転換した。この形質転換株の表現型は OmpF⁻OmpC^c であり、envZ160 変異株と同じであった。この結果より、ompR77 は envZ160 変異によって引き起こされる表現型を抑制しない、言いかえると、ompR77 は特定の envZ 変異しか抑制しないことが示唆された。

第3章 考察

*OmpR*タンパク質は細胞質に存在し、*ompF*、*ompC*プロモーターの上流領域に結合する正の調節タンパク質である(63,70)。一方、*EnvZ*タンパク質は細胞質膜に存在するが(67)、その機能はあまり理解されていない。この研究によつて、これら2つのタンパク質が直接相互作用していることが強く示唆された。その根拠は次の4つである。(i) *envZ11*変異によつて生じる表現型が*ompR*遺伝子の変異(*ompR77*)によつて抑制された。(ii) *envZ*⁺の場合には、*ompR77*変異によつてなんら特別な表現型は引き起こされなかつた。(iii) *ompR77*の機能は*envZ*依存性だつた。(iv) *ompR77*変異は、*envZ11*変異と異なる*envZ*変異(*envZ160*)を抑制しなかつた。

*ompR77*変異は、*OmpR*タンパク質のN末端から16番目のアミノ酸残基がLeuからGlnに変わるミスセンス変異だつた。Naraを中心として筆者も参加して取得した*ompR3*変異(71)は、*envZ11*変異と同じOmpF-OmpC^Cの表現型を引き起し

た。しかも、その変異は OmpR タンパク質の N 末端から 15 番目のアミノ酸残基を Arg か SCys に変えた変異だ、た(71)。これらの結果は、ompR77 や ompR3 変異が生じた OmpR タンパク質の N 末端側の領域が、EnvZ タンパク質と相互作用する領域であり、この相互作用を阻む変異がある、いは envZ のどちらに生じた場合にも、その表現型が OmpF-OmpC^C によることを示唆した。OmpR と EnvZ の相互作用は、培地の浸透圧変化という情報を遺伝子発現の場に伝えるのに重要な役割を果たしていると考えられる。

EnvZ タンパク質の機能は何か。細胞あたりの EnvZ タンパク質の分子数は、OmpR タンパク質のそれと較べてかなり少ない(82)。このことは、EnvZ タンパク質が触媒的な機能をもっていることを示唆している。たとえば、EnvZ が OmpR を修飾し、修飾の様式によって ompF や ompC の発現を調節するかもしれません。また、他の可能性としては、EnvZ が OmpR 依存性の転写を促進することが考えられる。たとえば、低浸

透圧の場合、EnvZタンパク質は ompFプロモーターの上流に結合している OmpRタンパク質と相互作用し、RNAポリメラーゼが EnvZ - OmpR複合体と ompFプロモーターを認識して転写を開始するかもしない。これらの可能性を検討するには *in vitro*系の開発が必要である。

第4部

OmpF, OmpC遺伝子の発現に影響を及ぼす RNAポリメラーゼの変異

遺伝子の転写は、RNAポリメラーゼとDNA上のプロモーターの相互作用で始まる。この相互作用はプロモーターの一次構造や高次構造、RNAポリメラーゼの構造変換、あるいはDNAの塩基配列を特異的に認識しDNAに結合する転写調節タンパク質によって支配されている(85)。転写調節タンパク質がRNAポリメラーゼとプロモーターの相互作用を増大させる機構については、2つのモデルが考えられていく。ひとつは、転写調節タンパク質がDNA上でRNAポリメラーゼと直接相互作用して、RNAポリメラーゼのプロモーターへの親和性が高まるというモデルである。第2は、転写調節タンパク質がDNAに結合することによってDNAの構造が変化し、RNAポリメラーゼのプロモーターへの親和性が高まるというモデル。

ルである。しかし、これらのモデルは広く受け入れられていくゆりには実験的裏付けが稀薄であった。

筆者は、第3部の研究の過程で ompR 変異による envZ 変異の抑制を妨げる変異を見出し、その変異が RNA ポリメラーゼの α サブユニットをコードする rpob 遺伝子に存在することを明らかにした。このことは、転写調節タンパク質と RNA ポリメラーゼが相互作用していることを示唆した。また、RNA ポリメラーゼは分子構造が詳しく解析されていてもかからず(86, 87, 88)、その分子構造と転写の際の進行方向の関係が明らかにされていなかつたが、筆者の得た結果から、進行方向に対して α サブユニットは RNA ポリメラーゼの後部に位置していることが示唆された。

第1章 実験方法

(1) 菌株、バクテリオファージ、プラスミド
本研究で用いられた大腸菌 K-12 株、バクテリオファージおよびプラスミドを Table 4-1 に示した。

(2) その他の方法

培地、PI 形質導入、バクテリオファージ TuIa と TuIb に対する感受性テスト、エンベロープの調製と Triton X-100 による可溶化、尿素-SDS ポリアクリルアミドゲル電気泳動、遺伝子操作技術は、第1部と同じである。アルカリ性ホスファターゼの活性測定は、第3部と同じである。なお、DNA の塩基配列の決定は Sanger ら(79) の方法で行なった。

第2章 実験結果

(1) AB2847において ompR77 変異は envZ11 変異を抑制しない

envZ11 変異株は OmpF⁻OmpC^C の表現型を示す。第3部の研究で、この envZ11 変異を抑制する ompR77 変異を見出した。ompR77 による envZ11 の抑制を確認するために、第3部の研究で用いた MC4100 系統以外の菌に両変異を導入した。SM6503を受容菌とした場合には、確かに ompR77 による envZ11 の抑制が観察された (Fig. 4-1, lane 1-6)。しかし、受容菌として AB2847 を用いた場合には、ompR77 envZ11 形質導入株は、envZ11 形質導入株 (Fig. 4-1, lane 9と10) と同じ OmpF⁻OmpC^C の表現型を示した (Fig. 4-1, lane 11と12)。ompR, envZ 遺伝子に突いて野生型である H0201 や MH19_{paroB} を受容菌として用いた場合には、ompR77 envZ11 形質導入株は OmpF⁺OmpC⁺ の表現型を示した。これらの結果は、AB2847には ompR77 による envZ11 の抑制を妨げる変異が存在することを示唆した。この変異を s2r と命名した。

(2) SZr 変異の同定

SZr 変異の染色体上での位置を決定するため、遺伝子マーカーがほとんどない SZr 変異株 SM7002 に遺伝子マーカーを導入することを試みた。まず、ストレプトマイシン耐性(Sm^r)となる変異型 rpsL 遺伝子を、SM6001 から形質導入した。驚くべきことに、 Sm^r 形質導入株の 70% が OmpF^+ OmpC^+ の表現型を示した (Fig. 4-1, lane 13 と 14)。もちろん、これらの形質導入株は ompR77, envZ11 変異を保持していた。この結果は、SZr 変異が rpsL 遺伝子の近傍に存在していることを示唆した。

形質導入によって、aroE, rpsL, および SZr 遺伝子間の配列順序を解析した。その結果は Fig. 4-2 に示した。SZr は rpsL と aroE の間に存在した。この領域には、詳しく解析された 4 つのリボソームタンパク質遺伝子群がある。str オペロンから aroE 領域までのいろいろな長さの DNA を運ぶ特殊形質導入ファージが、Jaskunas(89) によって単離されていた。それらの

中から λ_{fus2} と λ_{spc2} を SM7002 (s2r) に導入することによって、相補解析を行なった。 λ_{fus2} は str オペロンから aroE までを運んでおり、 λ_{spc2} は spc オペロンから aroE までを運んでいる。いずれのファージが導入された場合でも、形質導入株における OmpF タンパク質の合成は部分的に回復した。このことは、s2r 変異が spc オペロンから aroE 遺伝子の間に存在し、変異型 s2r 遺伝子は野生型 s2r 遺伝子に対して半優性であることを示唆した。

s2r 変異の正確な位置を決定するためには、spc オペロンから aroE 遺伝子の間のいろいろに異なりた領域を運ぶプラスミドを作成した (Fig. 4-3, Fig. 4-4)。これらのプラスミドによつて SM7002 (envZ11 ompR77 s2r) を形質転換した。その結果は Fig. 4-4 と Fig. 4-5 に示した。

spc および α オペロンと α オペロンの下流領域を運ぶ pMAN145 によつて、s2r 変異は相補された。一方、全 spc オペロンと α オペロンの中の rpsM から rpsD までを運ぶ pMAN160 や、プロモ

ーターの rplQ と αオペロンの下流領域を運ぶ pMAN165 では、s2r 変異を相補できなかつた。これららの結果は、s2r 変異が rpoA 遺伝子か rplQ 遺伝子のどちらかに存在することを示唆した。このことは、発現可能な rpoA と rplQ を運ぶ pMAN170 によつて s2r 変異が相補されたことによつて確認できた。

s2r 変異が rpoA あるいは rplQ のどちらに存在しているのかを決定するためには、pMAN170 上にクローニングされている rplQ 遺伝子の中に HindIII リンカーベースを挿入した。このプラスミド pMAN215 は s2r 変異を相補した。この結果は、s2r が rplQ 遺伝子内に生じた変異ではないことを示唆した。さらに、rpoA 遺伝子のみを含む 1.3kb HindIII 断片を pINIII-A1 にクローニングし、Lpp-lac プロモーターの支配下に rpoA 遺伝子が発現するプラスミド pMAN225 を作成した。pMAN225 を保持する SM7002 (envZII ompR77 s2r) は OmpF を合成した。つまり、s2r 変異は野生型 rpoA 遺伝子によつて相補された。この結果より、

SZr 変異は rpoA 遺伝子内に存在していると結論された。したがって、この変異は rpoA77 と命名された。

(3) rpoA77 変異株の解析

envZ11 変異株は、OmpF⁻OmpC⁺の表現型を示すと同時に、LamB⁻やPhoA⁻の表現型も示す(80,81)。envZ11 変異によって生じるこのような多面表現型は、ompR77 によってすべて抑制される(90)。OmpF, OmpC の発現に関して、ompR77 による envZ11 の抑制を rpoA77 はせかけた。そこで、LamBやPhoAの発現に関して調べてみた(Table 4-2)。菌株によって多少度合は異なるが、rpoA77 変異は ompR77 envZ11 変異株において LamBやPhoAの発現をせかけた。つまり、rpoA77 は ompR77 による envZ11 の抑制によって生じたすべての表現型を envZ11 の表現型にした。ompR⁺ envZ⁺ 株において、rpoA77 変異は LamBやPhoAの発現に影響を与えた。また、rpoA 遺伝子は本来、菌の生育にとって必須であるが、rpoA77 変異は菌の生育に関しても全く影響を与えないかった。

第3章 考察

(1) 転写調節タンパク質と RNAポリメラーゼの相互作用

OmpR, EnvZ タンパク質は、浸透圧変化に応答して ompF, ompC 遺伝子の発現を正に調節している。 OmpR タンパク質は細胞質に存在し、ompF, ompC プロモーターの上流領域に結合する(70)。 OmpR は RNAポリメラーゼと相互作用して、転写開始に寄与しているのだろう。一方、EnvZ は細胞質膜に存在する osmosensor であろうと考えられているが、その機能はあまり理解されていない。第3部の研究で、この2つのタンパク質が互いに相互作用して、ompF, ompC の発現を調節していることが強く示唆された。

第4部での研究で、ompR77 による envZ11 の抑制を rpoA77 がせかげることを見出した。つまり、envZ11 ompR77 rpoA77 株では envZ11 変異株と同じ表現型 (OmpF- OmpC^C) を示した。この結果は、転写開始のときに転写調節タンパク質と RNAポリメラーゼが相互作用していることを

示唆した。OmpR と EnvZ は相互作用する。OmpR と RNA ポリメラーゼは相互作用すると考えられている。EnvZ と RNA ポリメラーゼが相互作用するかどうか知りたいが、spoA77 変異は OmpR が EnvZ と相互作用することに対して影響を与えていると考えられる。別の可能性としては、cAMPリセプタータンパク質において提唱されているように(93)、OmpR-EnvZ と RNA ポリメラーゼが DNA 分子を介して相互作用していると考えられる。いずれにしても、転写開始のある段階において、OmpF プロモーター上で EnvZ, OmpR, RNA ポリメラーゼが複合体を形成していると思われる。

この複合体は、DNA, EnvZ, OmpR、および RNA ポリメラーゼがどのような順序で集合し形成されていくのだろうか。OmpR-EnvZ と RNA ポリメラーゼの相互作用、EnvZ と OmpR の相互作用(90)、OmpR とプロモーター-DNA との相互作用(70)、および RNA ポリメラーゼとプロモーター-DNA の相互作用(85)が示唆されている。どのような順

序でこれらの相互作用が起り、遺伝子発現を調節するのかという興味深い新たな研究対象が生まれた。

また、EnvZタンパク質は細胞質膜に局在するので(67)、上述の複合体は細胞質膜上に形成されると考えられる(Fig. 4-6)。膜を舞台とする新奇な遺伝子発現の調節機構も興味深い。

(2) 転写方向と RNA ポリメラーゼの分子配向

RNA ポリメラーゼは、 α (2分子), β , β' および δ と呼ばれるサブユニットから成る(91)。そして、三次元的な各サブユニットの配向は詳しく解析された(86, 87, 88)。しかしながら、転写の際に RNA ポリメラーゼが進む方向と各サブユニットの位置関係については、全くといってよいほど知見がなかった。上述した結果より、RNA ポリメラーゼの α サブユニットが、プロモーターの上流領域に位置する OmpR-EnvZ と相互作用することが示唆された。また、RNA ポリメラーゼは、プロモーターの -10 領域を中心結合し、その結合には β , β' サブユニッ

トが関与している(92)。これらのことから、転写方向に対して、 β , β' サブユニットが前方に、 α サブユニットが後方に位置する状態で RNA ポリメラーゼは進むということが強く示唆される (Fig. 4-6)。

総括

筆者が osmoregulation の研究に取組んだとき、所属していた名古屋大学農学部醸酵化学研究室では、Inokuchi ら(63)により ompF プロモーター領域の解析が行なわれていた。筆者も osmoregulation の生理的意義の研究と合わせて、ompR, envZ による osmoregulation には ompF, ompC のプロモーター領域が重要な役割を担っていることを明らかにした(47)。その後、両遺伝子のプロモーター領域の解析は、Dairi ら(68)や Mizuno ら(69)によって発展的に進められていった。これらの研究で明らかになったことは、ompF, ompC プロモーターが十分機能をもつためにはその上流約 70 bp の領域を必要とし、この領域と OmpR ランパク質が相互作用するということである。実際に、この領域に OmpR ランパク質が結合するということは Jo ら(70)や Norioka ら(74)によって確かめられた。また、Mizuno(72)(J), ompF プロモーターの上流領域に DNA の折れ曲がり構造が存在し、その構造を認識して OmpR ランパク質が

結合することを明らかにした。しかし、ompC の場合には、折れ曲がり構造がないにもかかわらず、OmpRタンパク質が結合した。ompF, ompC 遺伝子の発現は培地浸透圧変化に対して全く逆に応答することから、OmpRタンパク質による両プロモーターの活性化機構が異なっていることは予想できる。両プロモーターへのOmpRの結合様式が異なっているという Mizuno の結果は、プロモーターの活性化機構を考え上でたいへん興味深い。

ompF, ompC 遺伝子のプロモーター領域に結合する OmpRタンパク質に、培地浸透圧変化という情報がどのようにして伝達されるのだろうか。環境変化に応答する遺伝子発現は、全生物に見られる共通の現象である。近年、原核生物について、環境変化に応答した遺伝子発現の調節機構の研究が広く行われている。大腸菌においては、ompF, ompC 遺伝子をはじめ、リン酸欠乏時に発現する phoA, phoE 遺伝子、色素などの有害物質に応答して発現が調節され

る膜タンパク質などがあげられる(95)。また、Agrobacterium tumefaciens における virB, virC 遺伝子（傷ついた植物により合成されるフェノール誘導体に応答して発現する）や Klebsiella pneumoniae における glnA, nifLA 遺伝子（窒素源欠乏時に発現する）なども詳しく研究されている(95)。

遺伝学的解析によって、これらの遺伝子の発現は、2つのタンパク質によって調節されていることが明らかになった。そして、この2つのタンパク質は転写調節タンパク質と、環境変化を感じし、その情報を転写調節タンパク質に伝えるセンサーであると考えられた(95)。驚くべきことに、各発現調節系の中で、転写調節タンパク質ではN末端側の領域に、センサーの場合にはC末端側の領域にアミノ酸配列の上で高い相同意が見出された。このことは、環境変化の情報伝達に関与する遺伝子が共通の祖先遺伝子から由来し、その基本的機構が保存されていることを示唆している。そして、その機構は次のように考えられて

いる(95)。センサーは膜貫通型タンパク質で (EnvZ と VirA タンパク質は細胞質膜に存在することが確認されている), ペリプラズム空間に露出している N 末端側領域は相同性が低く、各々異なり、たとえ激に対するリセプターである。その情報を転写調節タンパク質に伝えるのが、細胞質側に露出している相同性の高い C 末端側領域である。転写調節タンパク質は相同性の高い N 末端側の領域で情報を受け取り、相同性の低い C 末端側領域がもつ転写調節機能を制御している。

このモデルに関する実験的根拠はまだ不十分である。しかし、筆者は、EnvZ(センサー)の C 末端側領域に生じた変異を OmpR(転写調節タンパク質)の N 末端側領域に生じた変異が抑制することから、EnvZ の C 末端側領域と OmpR の N 末端側領域が直接相互作用することを見出している(90)。このことは、センサーと転写調節タンパク質の相互作用が、環境変化という情報を遺伝子発現の場に伝達するために必要である。

ことを強く示唆している。

OmpR と *EnvZ* タンパク質の相互作用が、*ompF*, *ompC* 遺伝子の発現をどのようにして調節しているのだろうか。ひとつの場合性としては、*OmpR* が *EnvZ* によってリン酸化などの修飾を受けることが考えられる。実際、窒素源の欠乏に応答して発現する遺伝子群を調節する *NtrC* (転写調節タンパク質) は、*NtrB* (センサー) によってリン酸化、脱リン酸化され、リン酸化された *NtrC* は転写を促進する(96)。*OmpR* タンパク質に関しては、今のところリン酸化などの修飾は見出されていない。

もし、*OmpR* タンパク質が *EnvZ* タンパク質から修飾などを通して情報を受け取った後、*EnvZ* から離れて存在しているとすれば、培地浸透圧変化直後の転写段階での応答は、すみやかには行なわれにくいく想像される。Fig. 2-8A の結果が示すように、浸透圧変化直後に *OmpF* タンパク質の合成が急速に抑制されていることから、転写段階での応答は浸透圧変化

直後に行なわれていると考えられる。

このことを説明できるモデルとしては、EnvZ と OmpR が複合体を形成した状態で転写を調節しているというモデルが考えられる。たとえば、低浸透圧下では細胞質膜上で EnvZ - OmpR - OmpF プロモーター領域の複合体が形成され、この複合体を RNA ポリメラーゼが認識して転写が開始される。浸透圧が高くなると EnvZ の高次構造が変化し、活性のある複合体の形成ができないとなる。ompR 変異による envZ 変異の抑制を rpoA 変異が妨げるという筆者の実験結果(97)、および envZ 変異を α オペロン内の遺伝子(おそらく rpoA 遺伝子)の変異が抑制するという Garrett と Silhavy の実験結果(98)は、このモデルを支持するものである。しかし、現在のところ、確固たる証拠が得られているわけでもなく、また、他の可能性も考えられる。今後は、*in vitro* での生化学的解析を進めていかなければならぬだろう。

OmpF, OmpC 遺伝子の発現は、オ一義的には、

OmpR, EnvZタンパク質によって転写段階で調節されている。しかし、転写段階における調節だけではなく、micF RNAによって翻訳段階でも調節されている。micF RNAによる調節は、osmoregulationにおいて中心的な役割をはたしているわけではないうが、浸透圧変化に対する ompF 遺伝子の発現応答をすみやかに、かつ完全に行なわせる役割を担っている。

ところで、micF RNA - アンチセンス RNA の発見は、遺伝子発現の調節機構を考える上で新しい概念をもたらした。その後、アンチセンス RNA は、Tn10 の transposase 遺伝子や大腸菌の crp 遺伝子の発現、あるいは ColE1 プラスミドの複製などに関与していることが見出された(99)。また、人工的にアンチセンス RNA を作成し、人為的に遺伝子発現を調節する道を開き、原核生物だけにとどまらず、真核生物でも成果をあげている(99)。

ompF, ompC 遺伝子の発現は、OmpR, EnvZ タンパク質による転写段階での調節、および micF RNA

による翻訳段階での調節を受けているだけではなく、Inokuchiら(41)やRamakrishnanら(42)によつて見出された翻訳段階以降での調節も受けている。また、cya, crp(100), cpxA, cpxB(101), およびtolC(102)遺伝子などの変異も ompF, ompC の発現に影響を与えることが知られていく。特に、cya, crpに関する解析は、OmpF, OmpCタンパク質によって形成される透過孔が糖と高い親和性をもつことから、ompF, ompC の発現調節のみならず、糖の代謝と関連した発現調節の生理的意義にひとつの解答を与えてくれるかもしれない。

大腸菌外膜タンパク質遺伝子 ompF, ompC は上述したように、幾重にも厳重な調節のもとに発現していることが明らかになりつつある。筆者がこの研究に取り組んだ頃は、まだ、構造遺伝子 ompF, ompC, および調節遺伝子 ompR, envZ の DNA の塩基配列が決定されていなかったにすぎず、調節機構の研究がまさにこれから始まろうとしているところだった。それから 5 年ほどの間に、omp regulon は大腸菌を代表する遺

伝子発現調節系としての地位を築いたばかりでなく、そこからいくつかの普遍的概念も見出されてきた。このような時期に研究に携わることことができ、幾ばくかの貢献ができたことは望外の喜びである。

引用文献

1. Miura, T., and Mizushima, S. (1969)
Biochem. Biophys. Acta 193 : 268.
2. Takayama, K., Qureshi, N., Mascagni, P., Nashed, M.A., Anderson, L., and Raetz, C.R.H. (1983)
J. Biol. Chem. 258 : 7379.
3. 水島昭二, 三浦謹一郎 (1979)
 細菌の解剖 講談社サイエンティフィック.
4. Yamada, H., and Mizushima, S. (1978)
J. Bacteriol. 135 : 1024.
5. Nogami, T., and Mizushima, S. (1983)
J. Bacteriol. 156 : 402.
6. 本間遼 (1983)
 内毒素 医歯薬出版.
7. Nikaido, H., and Nakae, T. (1979)
Adv. Microb. Physiol. 20 : 163.
8. Furukawa, H., Kuroiwa, T., and Mizushima, S. (1983)
J. Bacteriol. 154 : 938.
9. Yu.F., Ichihara, S., and Mizushima, S. (1979)
FEBS Letters 100 : 71.

10. Ichihara, S., and Mizushima, S. (1978)
J. Biochem. 83: 1095.
11. Nikaido, H., and Vaara, M. (1985)
Microbiol. Rev. 49: 1.
12. Kawaji, H., Mizuno, T., and Mizushima, S. (1979)
J. Bacteriol. 140: 843.
13. van Alphen, W., and Lugtenberg, B. (1977)
J. Bacteriol. 131: 623.
14. Chai, T., and Foulds, J. (1977)
J. Bacteriol. 130: 781.
15. Bassford, P.J., Jr., Diedrich, D.L., Schnaitman, C.A., and Reeves, P. (1977)
J. Bacteriol. 131: 608.
16. Hall, M.N., and Silhavy, T.J. (1979)
J. Bacteriol. 140: 342.
17. Hall, M.N., and Silhavy, T.J. (1981)
J. Mol. Biol. 146: 23.
18. Hall, M.N., and Silhavy, T.J. (1981)
J. Mol. Biol. 151: 1.

19. Mutoh, N., Nagasawa, T., and Mizushima, S. (1981)
J. Bacteriol. 145 : 1085.
20. Mizuno, T., Wurtzel, E.T., and Inouye, M. (1982)
J. Bacteriol. 150 1462.
21. Inokuchi, K., Mutoh, N., Matsuyama, S., and Mizushima, S.
(1982)
Nucleic Acids Res. 10 : 6957.
22. Eleanore, T.W., Chou, M.-Y., and Inouye, M. (1982)
J. Biol. Chem. 257 : 13685.
23. Mizuno, T., Eleanore, T.W., and Inouye, M. (1982)
J. Biol. Chem. 257 : 13692.
24. Stacey, K.A., and Simson, E. (1965)
J. Bacteriol. 90 : 554.
25. Miller, J.H. (1972)
Experiments in Molecular Genetics, Cold Spring Harbor Lab.
26. Uemura, J., and Mizushima, S. (1975)
Biochem. Biophys. Acta 413 : 163.
27. Johnson, R.A., and Walseth, T.F. (1979)
Adv. Cyclic Nucl. Res. 10 : 135.

28. Nakamura, K., Pirtle, R.M., and Inouye, M. (1979)

J. Bacteriol. 137 : 595.

29. Birnboim, H.C., and Doly, J. (1979)

Nucleic Acids Res. 7 : 1513.

30. Maniatis, T., Fritsch, E.F., and Sambrook, J. (1982)

Molecular Cloning . Cold Spring Harbor.

31. Maxam, A.M., and Gilbert, W. (1980)

Methods Enzymol. 65 : 499.

32. Weiss, B., and Richardson, C.C. (1967)

Proc. Natl. Acad. Sci. U.S.A. 57 : 1021.

33. Dagert, M., and Ehrlich, S.D. (1979)

Gene 6 : 23.

34. Lugtenberg, B. (1982)

Mol. Gen. Genet. 185 : 105.

35. Mizuno, T., Chou, M.-Y., and Inouye, M. (1983)

FEBS Letters 151 : 159.

36. Mizuno, T., Chou, M.-Y., and Inouye, M. (1983)

J. Biol. Chem. 258 : 6932.

37. Schnaitman, C.A. (1971)

J. Bacteriol. 108 : 545.

38. Datta, D.B., Arden, B., and Henning, U. (1977)
J. Bacteriol. 131: 821.
39. Nara, F., Inokuchi, K., Matsuyama, S., and Mizushima, S. (1984)
J. Bacteriol. 159: 688.
40. Lugtenberg, B., Peters, R., Bernheimer, H., and Berendson, E. (1976)
Mol. Gen. Genet. 147: 251.
41. Inokuchi, K., Itoh, M., and Mizushima, S. (1985)
J. Bacteriol. 164: 585.
42. Ramakrishnan, G., Ikenaka, K., and Inouye, M. (1985)
J. Bacteriol. 163: 82.
43. Watson, J.D., and Crick, F.H.C. (1953)
Nature 171: 737.
44. Jacob, F., and Monod, J. (1961)
J. Mol. Biol. 3: 313.
45. Yanofsky, C. (1981)
Nature 289: 751.
46. Donnis, P.P., and Nomura, M. (1975)
Nature 255: 460.
47. Matsuyama, S., Inokuchi, K., and Mizushima, S. (1984)
J. Bacteriol. 158: 1041.

48. Mizuno, T., Chou, M.-Y., and Inouye, M. (1983)
Proc. Jpn. Acad. 59 : 335.
49. Mizuno, T., Chou, M.-Y., and Inouye, M. (1984)
Proc. Natl. Acad. Sci. U.S.A. 81 : 1966.
50. Casadaban, M. J. (1976)
J. Mol. Biol. 104 : 541.
51. Taylor, R. K., Hall, M. N., and Silhavy, T. J. (1983)
J. Mol. Biol. 166 : 273.
52. Yamamoto, M., Nonura, M., Ohsawa, H., and Maruo, B. (1977)
J. Bacteriol. 132 : 127.
53. Ozawa, Y., and Mizushima, S. (1983)
J. Bacteriol. 154 : 669.
54. Yamagata, H., Dombou, M., Sato, T., Mizushima, S., and
Uchida, H. (1980)
J. Bacteriol. 143 : 661.
55. Csonka, L. N., and Clark, A. J. (1980)
J. Bacteriol. 143 : 529.
56. Chang, A. C. Y., and Cohen, S. N. (1978)
J. Bacteriol. 134 : 1141.

57. Cabello, F., Timmis, K., and Cohen, S.N. (1976)
Nature 259: 285.
58. Gutterson, N.I., and Koshland, D.E. (1983)
Proc. Natl. Acad. Sci. U.S.A. 80: 4894.
59. Jasin, M., and Schimmel, P. (1984).
J. Bacteriol. 159: 783.
60. Ruvkun, G.B., and Ausubel, F.M. (1981)
Nature 289: 85.
61. Mizuno, T., and Mizushima, S. (1987)
J. Biochem. 101: 387.
62. Suzuki, T., Itoh, A., Ichihara, S., and Mizushima, S. (1987)
J. Bacteriol. 169: 2523.
63. Inokuchi, K., Furukawa, H., Nakamura, K., and Mizushima, S. (1984)
J. Mol. Biol. 178: 653.
64. Yasuda, S., and Takagi, T. (1983)
J. Bacteriol. 154: 1153.
65. Armstrong, K.A., Acosta, R., Ledner, E., Machida, Y.,
Pancotto, M., McCormick, M., Ohtsubo, H., and Ohtsubo, E.
(1984)
J. Mol. Biol. 175: 331.

66. Bolivar, F., Rodriguez, R.L., Greene, P.J., Betlach, M.B., Heyneker, H.L., Boyer, H.W., Crosa, J.H., and Falkow, S. (1977)

Gene 2: 95.

67. Liljeström, P. (1986)

FEMS Microb. Lett. 36 : 145.

68. Dairi, T., Inokuchi, K., Mizuno, T., and Mizushima, S. (1985)
J. Mol. Biol. 184 : 1

69. Mizuno, T., and Mizushima, S. (1986)
J. Bacteriol. 168 : 86.

70. Jo, Y.-L., Nara, F., Ichihara, S., Mizuno, T., and Mizushima, S. (1986)
(1986)

J. Biol. Chem. 261 : 15252.

71. Nara, F., Matsuyama, S., Mizuno, T., and Mizushima, S. (1986)
Mol. Gen. Genet. 202 : 194.

72. Mizuno, T. (1987)

Gene 54: 57.

73. Garrett, S., Taylor, R.K., Silhavy, T.J., and Berman, M.L. (1985)

J. Bacteriol. 162 : 840.

74. Vieira, J., and Messing, J. (1982)

Gene 19 : 259.

75. Matsuyama, S., and Mizushima, S. (1985)

J. Bacteriol. 162 : 1196.

76. Manis, J.J., and Kline, B.C. (1977)

Mol. Gen. Genet. 152 : 175.

77. Yanisch-Perron, C., Vieira, J., and Messing, J. (1985)

Gene 23 : 103.

78. Brickman, E., and Beckwith, J. (1975)

J. Mol. Biol. 96 : 307.

79. Sanger, F., Nicklen, F., and Coulson, A.R. (1977)

Proc. Natl. Acad. Sci. U.S.A. 74 : 5463.

80. Wandersman, C., Moreno, F., and Schwartz, M. (1980)

J. Bacteriol. 143 : 1374.

81. Wanner, B.L., Sarthy, A., and Beckwith, J. (1979)

J. Bacteriol. 140 : 229.

82. Masui, Y., Mizuno, T., and Inouye, M. (1984)

Bio-technology 2 : 81.

83. Pittard, J., and Wallace, B.J. (1966)

J. Bacteriol. 91 : 1494.

84. Miyoshi, Y., and Yamagata, H. (1976)

J. Bacteriol. 125 : 142.

85. Raibaud, O., and Schwartz, M. (1984)

Annu. Rev. Genet. 18 : 173.

86. Meisenberger, O., Heumann, H., and Pilz, I. (1981)

FEBS Letters. 123 : 22

87. Stöckel, P., May, R., Strell, I., Cejka, Z., Hoppe, W.,

Heumann, H., Zillig, W., and Crespi, H. L. (1980)

Eur. J. Biochem. 112 : 419.

88. Tichelaar, W., Schutter, W. G., Arnberg, A.C., van Bruggen,

E. F. J., and Stender, W. (1983)

Eur. J. Biochem. 135 : 263.

89. Jaskunas, S. R., Fallon, A. M., and Nomura, M. (1977)

J. Biol. Chem. 252 : 7323.

90. Matsuyama, S., Mizuno, T., and Mizushima, S. (1986)

J. Bacteriol. 168 : 1309.

91. Burgess, R. R. (1976)

RNA Polymerase, Cold Spring Harbor.

92. 長沢治子, 石浜明. (1985)

核酸の化学と分子生物学, 学会出版センター.

93. Wu, H.-M., and Crothers, D.M. (1984)

Nature 308 : 509.

94. Norioka, S., Ramakrishnan, G., Ikenaka, K., and Inouye, M. (1986)

J. Biol. Chem. 261 : 17113.

95. Ronson, C.W., Nixon, B.T., and Ausubel, F.M. (1987)

Cell 49 : 579.

96. Ninfa, and Magasanik, (1986)

Proc. Natl. Acad. Sci. U.S.A. 83 : 5909

97. Matsuyama, S., and Mizushima, S. (1987)

J. Mol. Biol. 195 : 847.

98. Garrett, S., and Silhavy, T.J. (1987)

J. Bacteriol. 169 : 1379.

99. Green, P.J., Pines, O., and Inouye, M. (1986)

Ann. Rev. Biochem. 55 : 569.

100. Scott, N.W., and Harwood, C.R. (1980)

FEMS Microb. Letters 9 : 95.

101. McEwen, J., and Silverman, P.M. (1982)

J. Bacteriol. 151 : 1553.

102. Morona, R., and Reeves, P. (1982)

J. Bacteriol. 150 : 1016.

Table 1-1

Bacteria, bacteriophages, and plasmids

Strain	Relevant properties ^a	Reference/source
<i>E. coli</i> K-12		
MC4100	F ⁻ ; <i>ΔlacU169 araD139 rpsL relA thiA fibB</i>	50
MH70	MC4100 <i>malQ7</i>	16
MH118	MH70 <i>ompC::Mu cts18</i>	16
MH760	MC4100 <i>ompR472 (ompR2)</i>	51
SM131	F ⁻ ; <i>ΔlacU169 rpsL relA thiA fibB malQ7 ompF14</i>	K. Inokuchi
SM1000	<i>gyrA ompC</i> transductant of SM131; donor: YO170	This study
SM1001	<i>srl::Tn10</i> conjugant of SM1000; donor: JC10240	This study
SM1002	<i>malQ⁺</i> transductant of SM1001; donor: HO201 <i>ompF</i>	This study
SM1003	<i>malQ⁺ envZ</i> transductant of SM1001; donor: HO201 <i>ompF</i>	This study
SM1004	<i>malQ⁺ ompR472</i> transductant of SM1001; donor: MH760	This study
SM1005	<i>srl⁺ recA</i> conjugant of SM1002; donor: KL16-99 <i>Nal^r</i>	This study
SM1006	<i>srl⁺ recA</i> conjugant of SM1003; donor: KL16-99 <i>Nal^r</i>	This study
SM1007	<i>srl⁺ recA</i> conjugant of SM1004; donor: KL16-99 <i>Nal^r</i>	This study
CE1036	F ⁻ ; <i>thi lacY galK mil xyl ara rpsL supE ompC T6^r</i>	40
CE1036 <i>thyA</i>	<i>thyA</i> mutant of CE1036	This study
CE1036 <i>recA</i>	<i>recA thyA⁺</i> conjugant of CE1036 <i>thyA</i> ; donor: KL16-99 <i>Nal^r</i>	This study
HO201	F ⁻ ; <i>thi rel rpsL mal λ^r</i>	52
HO201 <i>ompF^b</i>	<i>ompF14 envZ</i> derivative of HO201; spontaneous Tula-resistant mutant	53
HO201 <i>ompC</i>	<i>ompC</i> derivative of HO201; spontaneous Tulb-resistant mutant	53
YO160 ^b	F ⁻ ; <i>thi rel rpsL ompC envZ Φ(ompC-lacZ)</i>	53
YO160 <i>thyA</i>	<i>thyA</i> mutant of YO160	This study
YO160 <i>recA</i>	<i>recA thyA⁺</i> conjugant of YO160 <i>thyA</i> ; donor: KL16-99 <i>Nal^r</i>	This study
YO170	<i>gyrA</i> conjugant of HO201 <i>ompC</i> ; donor: KL98 <i>nalA</i>	This study
KL16-99 <i>Nal^r</i>	Hfr; <i>thi recA Nal^r</i>	54
KL98 <i>nalA</i>	Hfr; <i>gyrA</i>	B. Lugtenberg
JC10240	Hfr; <i>thr-300 recA56 srl-300::Tn10 relA1 ilv-318 spoT1 thi-1 rpsE2300</i>	55
Bacteriophages		
Tula	Receptor; OmpF and lipopolysaccharide	38
Tulb	Receptor; OmpC and lipopolysaccharide	38
Plkc	Used for generalized transduction	Our laboratory stock
Previously described plasmids		
pACYC184	Cm ^r Tc ^r	56
pKEN403	Ap ^r Km ^r	K. Nakamura
pLF4	Ap ^r ; vector: pBR322; cloned genes: <i>ompF asnS</i>	21
pLF11	Ap ^r ; vector: pBR322; cloned gene: 5'-terminal half of <i>ompF</i>	21

^a Cm, Chloramphenicol; Tc, tetracycline; Ap, ampicillin; Km, kanamycin.^b These strains were reported to be *envZ⁺*.

Table 1-2

Plasmids constructed in this study

Plasmid	Cloned gene(s) ^a	Amt (kb) of foreign DNA (source)	Vector DNA	Selection markers used	Length (kilobase pairs)
pMAN002	<i>ompC</i> ([<i>Cp-C</i>])	2.7 (MH70)	pACYC184	Cm ^r Tul ^b	6.6
pMAN003	[<i>Cp-F</i>]	1.1 (pMAN002)	pLF4	Ap ^r Tula ^s	9.1
pMAN004	[<i>Fp-C</i>]	3.0 (pLF4)	pMAN002	Cm ^r Tul ^b	7.6
pMAN006	<i>ompC</i>	2.7 (pMAN002)	pKEN403	Ap ^r Tul ^b	7.2
pMAN007	<i>ompF</i> ([<i>Fp-F</i>])	5.9 (pLF4)	pKEN403	Ap ^r Tula ^s	10.4
pMAN008	<i>ompC</i> <i>ompF</i>	2.7 (pMAN002)	pMAN007	Ap ^r Tul ^b	13.1
pMAN009	[<i>Cp-F</i>]	6.4 (pMAN011)	pKEN403	Ap ^r Tula ^s	10.9
pMAN010	[<i>Fp-C</i>]	1.4 (pLF4); 1.1 (pMAN002)	pKEN403	Ap ^r Tul ^b	7.0
pMAN011	[<i>Cp-F</i>] [<i>Fp-C</i>]	5.6 (pMAN003); 4.1 (pMAN004)	pKEN403	Ap ^r Tula ^s	14.2

^a [*Cp-F*] represents a chimera gene that includes the *ompC* promoter region, the coding region for the signal peptide and NH₂-terminal 11-amino-acid residues of the OmpC protein, and the coding region of the OmpF protein devoid of the NH₂-terminal 11-amino-acid residues. [*Fp-C*] represents a chimera gene in which opposite domains of the *ompF* gene and the *ompC* gene were included. The *ompC* and *ompF* genes can be expressed as [*Cp-C*] and [*Fp-F*], respectively.

Table 2-1

Bacteria, bacteriophages, and plasmids

Strain, phage, or plasmid	Relevant properties	Reference or source
<i>E. coli</i> K-12		
MC4100	F ⁻ <i>ΔlacU169 araD rpsL relA thi fibB</i>	50
MH760 <i>recA</i>	F ⁻ <i>ΔlacU169 araD rpsL relA thi fibB ompR472 gyrA recA</i>	63
HO201	F ⁻ <i>thi rel rpsL mal λ^r</i>	52
HO201 <i>ompC</i>	<i>ompC</i> derivative of HO201	53
YO160 <i>recA</i>	F ⁻ <i>thi rel rpsL ompC envZ Φ(ompC-lacZ) recA</i>	47
CE1036 <i>recA</i>	F ⁻ <i>thi lacY galK mtl xyl ara rpsL supE ompC T6' recA</i>	47
SM3001	MC4100 <i>ΔmicF1</i>	This study
SM3002	<i>ΔmicF1</i> transductant of HO201; donor, SM3001	This study
Bacteriophages		
Tulb	Receptor; OmpC and lipopolysaccharide	38
P1kc	Used for generalized transduction	Our laboratory stock
Plasmids		
pMAN002	Cm ^r ; vector, pACYC184; cloned gene, <i>ompC micF</i>	47
pMAN006	Ap ^r ; vector, pKEN403; cloned gene, <i>ompC micF</i>	47
pMAN005	Same as pMAN006 except for direction of the cloned fragment	This study
pSY343	Km ^r	64
pEL3	Ap ^r ; temperature-sensitive replicon	65
pKM004	Ap ^r ; vector, pBR322; cloned gene, <i>lpp</i> promoter-controlled <i>lacZ-lacY</i> operon	48
Plasmid III	Ap ^r ; vector, pKM005; cloned gene, <i>micF</i>	49
pKEN403	Ap ^r Km ^r ; replication origin derived from pSC101	K. Nakamura
pACYC184	Cm ^r Tc ^r	56
pBR322	Ap ^r Tc ^r	66

Table 3-1

Bacteria, bacteriophages, and plasmids

Strain	Relevant properties ^a	Reference or source
<i>E. coli</i> K-12		
MC4100	<i>F</i> ⁻ , <i>ΔlacU169 araD rpsL relA thi ffbB</i>	50
MH1461	MC4100 <i>envZ11</i>	17
MH760	MC4100 <i>ompR2 gyrA recA1 recA</i>	63
MH19	MC4100 <i>malQ pyrD molQ⁺ aroB</i> transductant of	17
MH19 <i>aroB</i>	<i>MH19; donor; AB2847 mal⁺</i>	This study
SG480Δ76	MC4100 <i>Δ(malT-ompB)</i>	73
AT142	MC4100 <i>ΔenvZ</i>	T. Mizuno ^b
AB2847	<i>aroB tsx supE mal⁺</i>	39
YO160	<i>F</i> ⁻ , <i>thi rel rpsL ompC envZ160</i> Φ (<i>ompC-lacZ</i>)	47
JM83	<i>ara Δlac pro rpsL thi</i> ϕ 80d <i>ΔlacZ15</i>	74
Bacteriophage		
Tula	Receptors, OmpF and lipopolysaccharide	38
Tulb	Receptors, OmpC and lipopolysaccharide	38
P1 <i>kc</i>	Used for generalized transduction	Our laboratory stock
Previously described plasmid		
pBR322	<i>Ap^r Tc^r</i>	66
pKEN403	<i>Ap^r Km^r</i>	75
pMF21	<i>Km^r</i>	76
pUC19	<i>Ap^r</i>	77
pAT224	<i>Ap^r; vector, pBR322; cloned genes, ompR and envZ</i>	20
pAT2004	<i>Ap^r; vector, pIN-III; cloned gene, envZ</i>	T. Mizuno ^b
pMAN043	<i>Ap^r</i>	71

^a Ap, Ampicillin; Tc, tetracycline; Km, kanamycin.^b Construction and characterization will be published elsewhere.

Table 4-1

Bacteria, bacteriophages and plasmids

Strain	Relevant properties	Reference/source
A. E. coli K12		
MC4100	F ⁻ ; $\Delta lacU169$ <i>araD rpsL relA thi flbB</i>	Casadaban (1976)
MH1461	MC4100 envZII	Hall & Silhavy (1981a)
SM6001	MH1461 ompR77	Matsuyama <i>et al.</i> (1986)
SM6501	<i>rpsL</i> ⁺ <i>rpsE aroE</i> transductant of SM6001; donor, AB312 Sm ^s <i>spc aroE</i>	This study
SM6502	<i>rpsL rpsE</i> ⁺ transductant of SM6501; donor, SM6001	This study
SM7010	<i>aroE</i> ⁺ <i>rpoA77</i> transductant of SM6502; donor, SM7002	This study
SM7013	<i>rpsE aroE</i> transductant of MC4100; donor, AB312 Sm ^s <i>spc aroE</i>	This study
SM7014	<i>rpsL</i> ⁺ <i>rpsE</i> ⁺ <i>aroE</i> ⁺ <i>rpoA77</i> transductant of SM7013; donor, AB2847	This study
MH19 aroB	MC4100 aroB <i>pyrD</i>	Matsuyama <i>et al.</i> (1986)
AB2847	F ⁻ ; <i>aroB tsx malA</i> (<i>rpoA77</i>)	Pittard & Wallace (1966)
AB2847 $malA^+$	AB2847 $malA^+$	Nara <i>et al.</i> (1984)
SM7000	<i>malA</i> ⁺ <i>aroB</i> ⁺ transductant of AB2847; donor, MC4100	This study
SM7001	<i>malA</i> ⁺ <i>aroB</i> ⁺ <i>envZII</i> transductant of AB2847; donor, MH1461	This study
SM7002	<i>malA</i> ⁺ <i>aroB</i> ⁺ <i>envZII</i> <i>ompR77</i> transductant of AB2847; donor, SM6001	This study
SM7003	<i>rpsL rpoA</i> ⁺ transductant of SM7002; donor, SM6001	This study
SM7011	<i>rpsL rpoA</i> ⁺ transductant of SM7000; donor, MC4100	This study
SM7012	<i>rpsL rpoA</i> ⁺ transductant of SM7001; donor, MH1461	This study
W4626Phe	F ⁻ ; <i>purE pheA trp lac-85 gal-2 malA mtl xyl-2 ara rpsL</i>	Miyoshi & Yamagata (1976)
SM6503	<i>malA</i> ⁺ <i>aroB</i> transductant of W4626Phe; donor; AB2847 $malA^+$	This study
SM7004	<i>aroB</i> ⁺ transductant of SM6503; donor, MC4100	This study
SM7005	<i>aroB</i> ⁺ <i>envZII</i> transductant of SM6503; donor, MH1461	This study
SM7006	<i>aroB</i> ⁺ <i>envZII</i> <i>ompR77</i> transductant of SM6503; donor, SM6001	This study
HO201	F ⁻ ; <i>thi rel rpsL malA</i>	Yamamoto <i>et al.</i> (1977)
AB312Sm ^s <i>spc aroE</i>	Hfr; <i>thr leu rpsE aroE</i>	Yamagata (unpublished)
B. Bacteriophages		
TuIa	Receptor; OmpF and lipopolysaccharide	Datta <i>et al.</i> (1977)
TuIb	Receptor; OmpC and lipopolysaccharide	Datta <i>et al.</i> (1977)
P1 λ ke	Used for generalized transduction	Laboratory stock
λ fus2	Specialized transducing bacteriophage λ carrying the <i>str</i> operon- <i>aroE</i> gene region	Jaskunas <i>et al.</i> (1977)
λ spc1	Specialized transducing bacteriophage λ carrying the <i>spc</i> operon- <i>aroE</i> gene region	Jaskunas <i>et al.</i> (1977)
λ spc2	Specialized transducing bacteriophage λ carrying the <i>spc</i> operon- <i>aroE</i> gene region	Jaskunas <i>et al.</i> (1977)
C. Plasmids		
pMF21	Km ^r	Manis & Kline (1977)
pMAN043	Ap ^r	Nara <i>et al.</i> (1986)
pKEN403	Ap ^r Km ^r	Matsuyama & Mizushima (1985)
pINI111-A1	Ap ^r	Masui <i>et al.</i> (1984)

Km, kanamycin; Ap, ampicillin.

Table 4-2

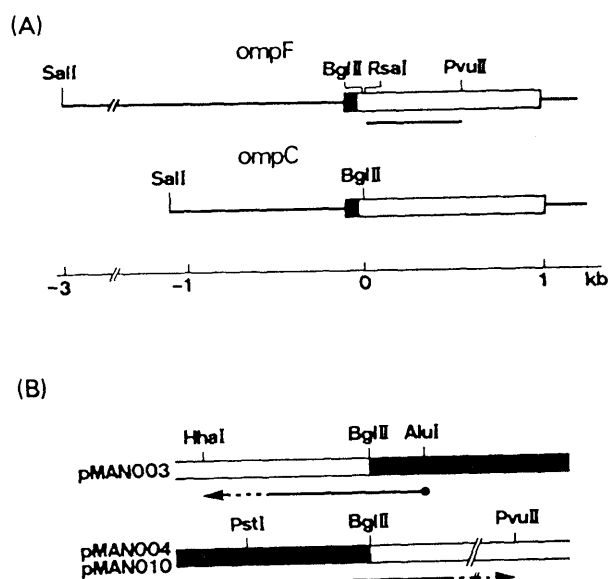
Effect of the rpoA77 mutation on the synthesis of the LamB protein and alkaline phosphatase

Strain	Genotype			LamB protein†	Alkaline phosphatase‡
	<i>envZ</i>	<i>ompR</i>	<i>rpoA</i>		
SM7011	+	+	+	100	821
SM7012	<i>envZ11</i>	+	+	0	83
SM7003	<i>envZ11</i>	<i>ompR77</i>	+	22	775
SM7002	<i>envZ11</i>	<i>ompR77</i>	<i>rpoA77</i>	6	200
SM7000	+	+	<i>rpoA77</i>	88	802
MC4100	+	+	+	100	661
MH1461	<i>envZ11</i>	+	+	10	117
SM6001	<i>envZ11</i>	<i>ompR77</i>	+	92	333
SM7010	<i>envZ11</i>	<i>ompR77</i>	<i>rpoA77</i>	0	152
SM7014	+	+	<i>rpoA77</i>	109	508

† Cells were grown at 30°C in M9 minimal medium containing 2% (w/v) glycerol, 0.1% (w/v) Casamino acids and 0.2% (w/v) maltose. Outer-membrane fractions were analyzed on polyacrylamide gels. The gels were then scanned with a Toyo digital densitometer DMU-33C, and the relative amounts of the LamB protein were determined. The amounts were normalized for the total amounts of the major outer-membrane proteins; OmpA, OmpF and OmpC.

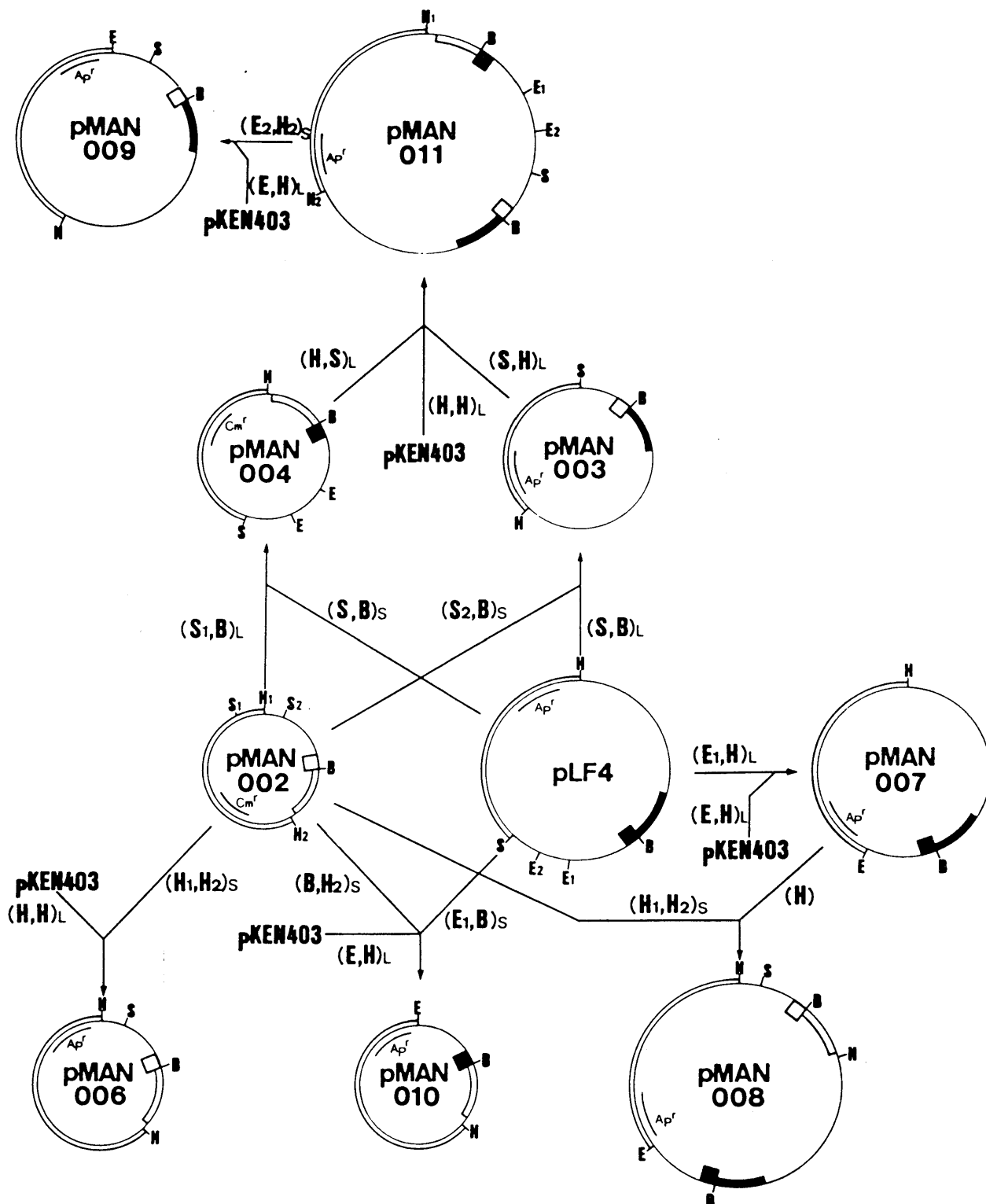
‡ The alkaline phosphatase assay was carried out as described (Brickman & Beckwith, 1975).

Fig. 1-1



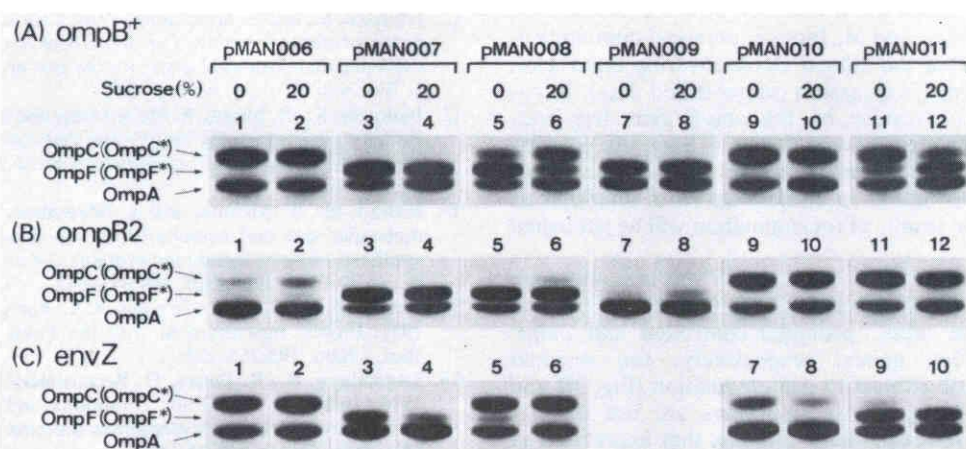
Cloned *ompF* and *ompC* genes used for chimera gene construction (A) and strategy for nucleotide sequencing of chimera genes (B). (A) Solid and open bars represent the signal peptide region and mature protein region, respectively. The line below the *ompF* gene represents the DNA fragment used for hybridization experiments for the *ompC* gene cloning. (B) Bars indicate the *Bgl*II junction regions of the chimera genes. Solid and open bars represent regions derived from the *ompF* and *ompC* genes, respectively. Arrows indicate nucleotide fragments used for sequencing; ● indicates the position of the ^{32}P -labeled 5' end. Broken regions of the arrows indicate that the sequences of these regions were not determined.

Fig. 1-2



Construction of plasmids. \square and \blacksquare represent [Cp] and [-C] regions of the *ompC* gene ([$Cp-C$]), respectively. \blacksquare and \blacksquare represent [Fp] and [-F], respectively. Detailed information is given in the footnote to Table 2. Thin lines represent cloned chromosomal DNA regions; thick lines represent DNA fragments from pBR322, pACYC184, and pKEN403. Restriction endonucleases used are shown in parentheses by the following abbreviations: H, *Hind*III; B, *Bgl*II; S, *Sall*; and E, *Eco*RI. Cleavage sites are also shown on plasmids. When one enzyme cleaves more than one site of a plasmid, they are distinguished with suffixes, e.g., S_1 and S_2 . S and L outside the parentheses represent smaller and larger fragments, respectively, formed as a result of an endonuclease digestion. For example, $(S_1, B)_L$ in the middle of this figure indicates the larger fragment formed after digestion with *Sall* and *Bgl*II of pMAN002. DNA fragments thus formed were ligated, and usually transformed into YO160 *recA*. Transformants were selected for the markers shown in Table 2. Although YO160 *recA* was *envZ* (see Table 1), it did not prevent the selection. Antibiotic resistance genes are also indicated.

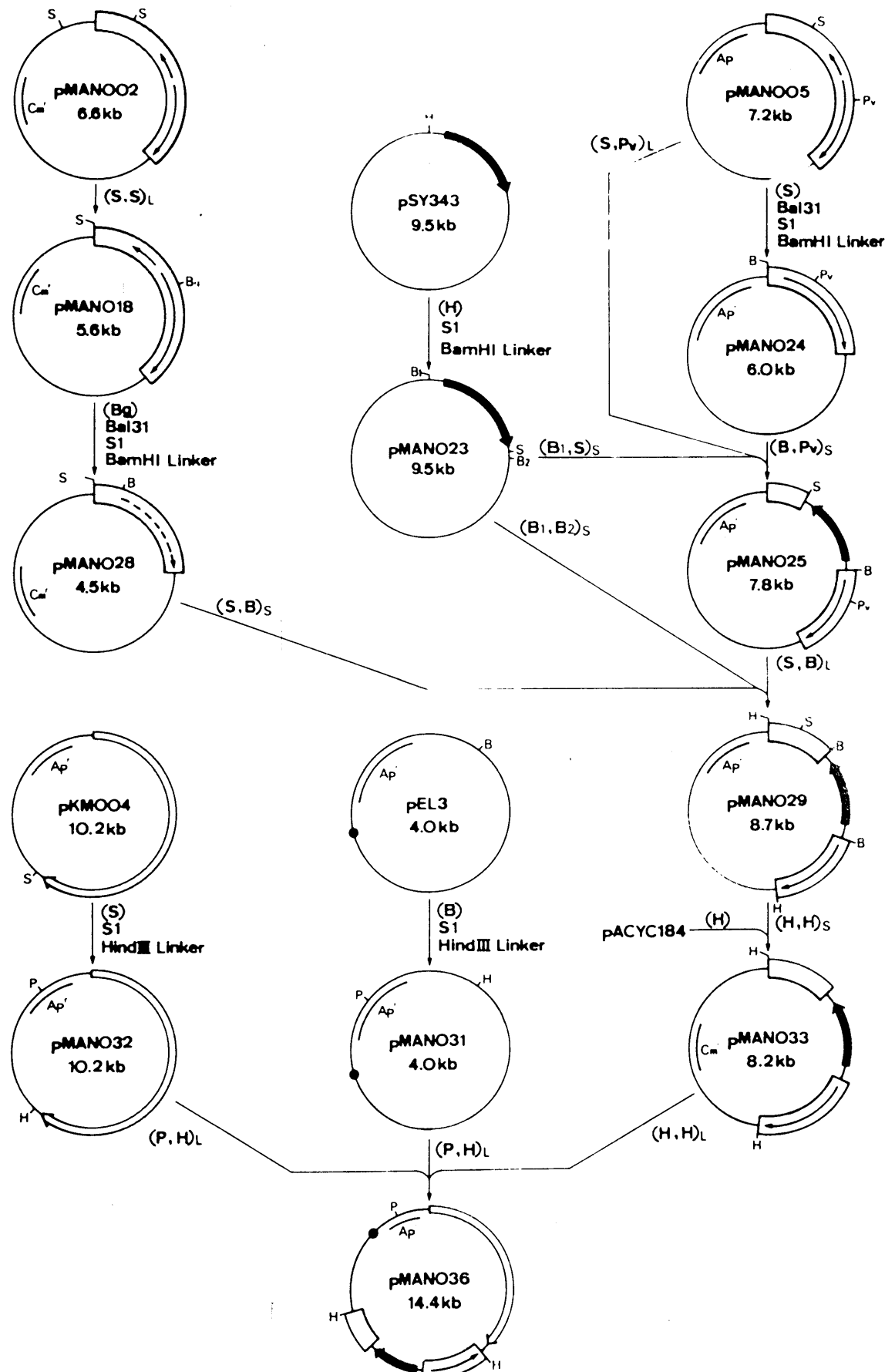
Fig. 1-3



Expression of *ompF*, *ompC*, and chimera genes. SM1005 (A), SM1007 (*ompR2*) (B), and SM1006 (*envZ*) (C) were transformed with the indicated plasmids and grown in the presence of the indicated concentrations of sucrose. Plasmids and the concentrations of sucrose used in (B) and (C) were the same as those for (A). Triton X-100-insoluble fractions (25 µg of protein) were prepared and analyzed on polyacrylamide gel. The positions of OmpC, OmpF, OmpA, and chimera proteins are indicated. The data for pMAN009 are not shown in (C) because the transformant could not be obtained.

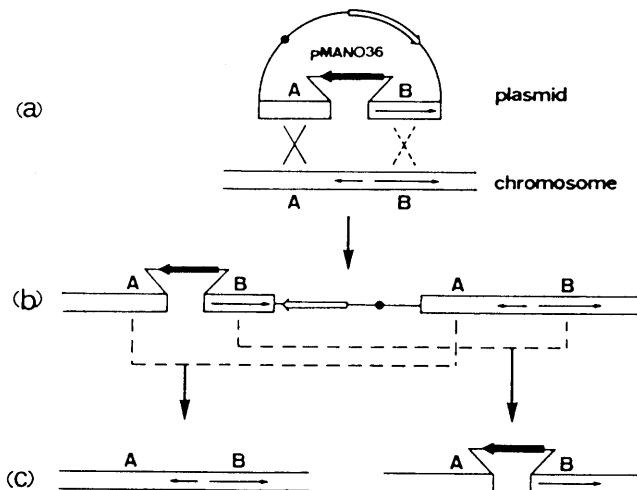
Fig. 2-1

108



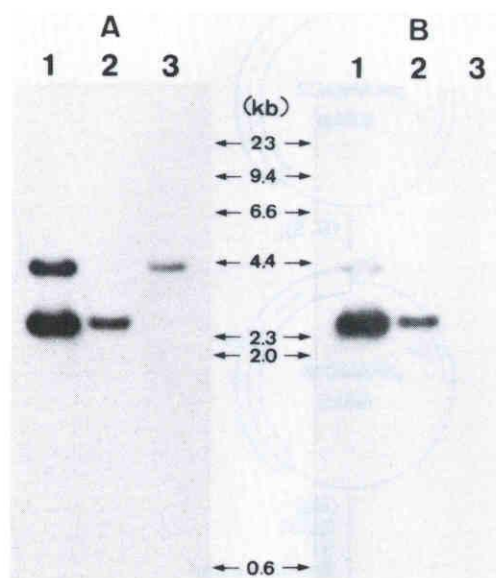
Construction of plasmid pMAN036. □, Chromosomal DNA of the *micF-ompC* region. The short and long arrows in the open boxes indicate the coding region and the direction of transcription of *micF* and *ompC*, respectively; broken arrow represents the nonfunctioning *ompC* gene, the upstream region of which has been deleted. ▽ and ▷, Coding region and direction of transcription of *lacZ-lacY* and *Km^r*, respectively; —, vector plasmid DNA; ●, temperature-sensitive replicon. The restriction endonucleases used are shown in parentheses (abbreviations: B, *Bam*HI; Bg, *Bgl*II; H, *Hind*III; P, *Pst*I; Pv, *Pvu*II; S, *Sall*). Cleavage sites are shown. When one enzyme cleaves at more than one site in a plasmid, the sites are distinguished with numbers, e.g., B₁ and B₂. S and L outside parentheses denote small and large fragments, respectively, formed as a result of digestion with the endonuclease. All plasmids were transferred into strain YO160 *recA*, except for pMAN032, pMAN035, and pMAN036, which were transferred into strain MH760 *recA*. Antibiotic resistance genes and plasmid sizes are also indicated.

Fig. 2-2



Replacement of the *micF-ompC* region of the chromosome with the *micF*-deleted corresponding region in pMAN036. Strain MC4100, a Δlac strain, was transformed with pMAN036 (Fig. 1) and incubated at 42°C on lactose-MacConkey plates containing kanamycin. Plasmid integration into the chromosome by homologous recombination takes place at either region A or region B (a). Transformants having the plasmid in the chromosome are Km^r Lac^+ . In the case of recombination at region A, subsequent plasmid segregation from the chromosome by homologous recombination takes place at either of the regions indicated by dotted lines in (b). This results in one of the chromosomal structures shown in (c). The segregated plasmids are lost in the cells because of the inability to replicate autonomously at 42°C. Recombination for plasmid segregation at region A gives the same chromosomal structure as that of an untransformed cell, whereas recombination at region B results in replacement of the *micF* gene with the Km^r gene. This *micF* deletion mutant is detected as a white colony (Lac^-) on a lactose-MacConkey plate containing kanamycin. When recombination for plasmid integration takes place at region B (a), the subsequent process is principally the same. The symbols used are described in the legend to Fig. 1.

Fig. 2-3

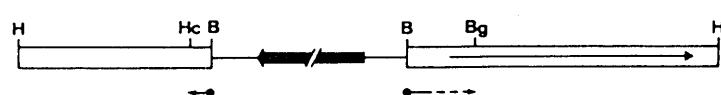


Southern blot analyses of the *micF* chromosomal deletion. A mixture of pMAN002 and pMAN033 (lanes 1) and chromosomal DNA from strains MC4100 (lanes 2) and SM3001 (lanes 3) was digested with *Hind*III and analyzed as described in the text. The 2.7-kb fragment containing the *micF-ompC* region from pMAN002 (A) and the 120-bp fragment containing a larger part of the *micF* gene (Fig. 4) (B) were used as probes. The *Hind*III fragments of bacteriophage λ DNA were used for standardization of the base length.

111

Fig. 2-4

A



B

AGCACAGAATAATGAAAAGTGTAAAGAAGGGTAAAAAAACCGAATGCGAGGCATCGGTTGAATAGGGTAAACAGACATTAGAAATGAATGACG
 TCGTGCTTATTACTTTACACATTCTCCCATTTTTGGCTTACGCTCGTAGGCCACTTATCCCCATTGTCTGTAAGTCCTTACTTACTGCT

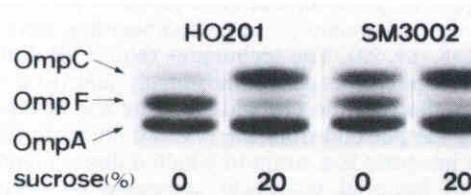
GTAATAAAAGTTAATGATGATAGCGGGAGTTATTCTAGTTGCGAGTGAAGGTTTGTGACATTCACTGCTGTCAAATACTTAAGAATAAGTTAT
 CATTATTATTCAATTACTACTATGCCCTCAATAAGATCAACGCTCACTTCCAAACAAAAGTAAAGTCAAGTCAACGACAGTTATGAATTCTTATTCAAA

TGATTTAACCTTGAATTATTATTGCTTGATGTTAGGTGCTTATTGCCATTCCGCAATAATCTTAAAAGTCCCTGCATTACATTGAAALATC
 ACTAAAATTGAACTTAATAAAACGAACATACAATCCACGAATAAGCGGTAGGCCTTATTAGAATTTCAGGGAACGT/AATGTAACCTTGTAG
 micF ← PB -35 → ompC

TATAGCGATAATGAAACATCTTAAAGTTTAGTATCATATTGTTGGATTATTGCTGATTGGGAGAATGGACTTGCCGACTGATTAATGAGG
 ATATCGCTATTCTTACTTGTAGAATTTCAAATCATAGTATAAGCACAACCTAATAAGACGTAACCCCTTACCTGAAACGGCTGACTAAATTCTC

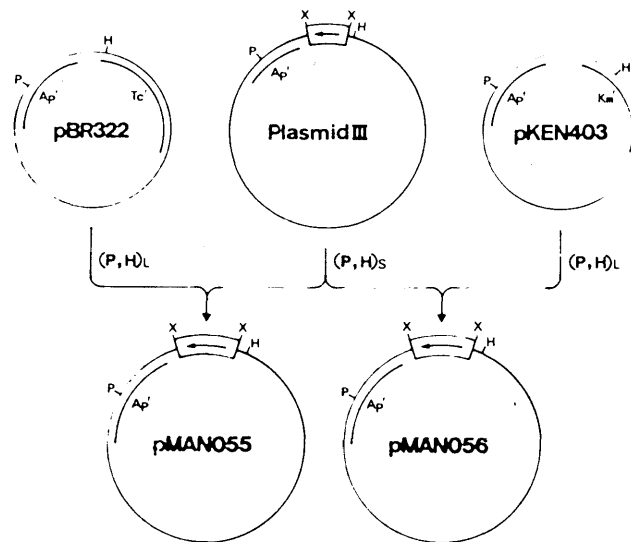
DNA sequence analysis of the chromosomal *micF* deletion. (A) Strategy for nucleotide sequencing. The *micF*-*ompC* region on the mutant chromosome which was cloned into pMAN042 is shown. The symbols and abbreviations used are described in the legend to Fig. 1. *Hc*, *HincII*. Small arrows outside the box indicate fragments used for sequencing, with the position of the ^{32}P -labeled 5' end indicated (●). The broken region of an arrow indicates that the sequence of that region was not determined. (B) Nucleotide sequence around the *micF*-*ompC* region. The nucleotide sequences determined are underlined. The *micF* region that was deleted and replaced by the Km^r gene-carrying fragment is boxed. Dots between the two strands indicate sequences complementary to *ompF* mRNA. Arrows, Transcriptional initiation sites for *micF* and *ompC*. Pribnow boxes (PB) and -35 regions for the *micF* and *ompC* promoters are also indicated. A heavy line above the sequences indicates the 120-bp fragment used as a probe for the hybridization analysis (Fig. 3). This fragment was kindly prepared by T. Mizuno. The broken line indicates that the exact location of the terminus was not determined.

Fig. 2-5



Expression of *ompF* and *ompC* in the *micF* deletion mutant. Strains HO201 (wild-type) and SM3002 ($\Delta micF$) were grown with the indicated concentrations (wt/vol) of sucrose. Triton X-100-insoluble fractions (25 μ g of protein) were prepared from cell envelopes and analyzed on polyacrylamide gels. The positions of OmpC, OmpF, and OmpA are indicated.

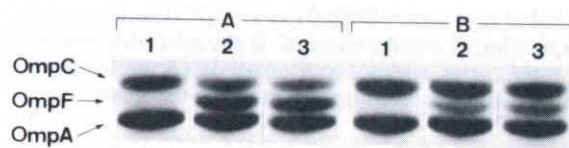
Fig. 2-6



Construction of *micF* gene-carrying plasmids pMAN055 and pMAN056. In plasmid III, the *micF*-carrying CX28 fragment (300 bp $\boxed{-}$) is inserted between the *Xba*I sites (X). The arrow in the box represents *micF*. The 1.0-kb *Pst*I-*Hind*III fragment from plasmid III was ligated with the 3.6-kb *Pst*I-*Hind*III vector fragment from pBR322 or the 3.8-kb *Pst*I-*Hind*III vector fragment from pKEN403 to construct pMAN055 and pMAN056, respectively. The structures of the two plasmids thus constructed were confirmed by DNA restriction analysis. See the legend to Fig. 1 for other abbreviations.

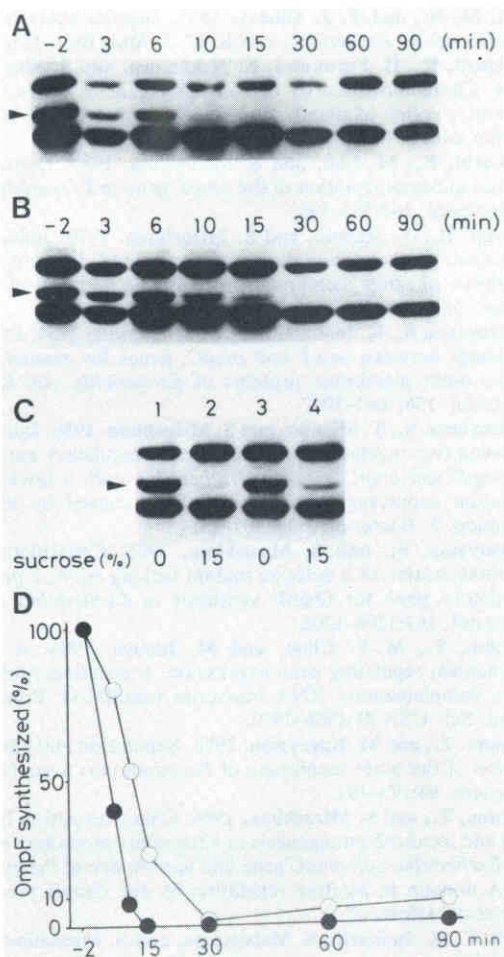
A

Fig. 2-7



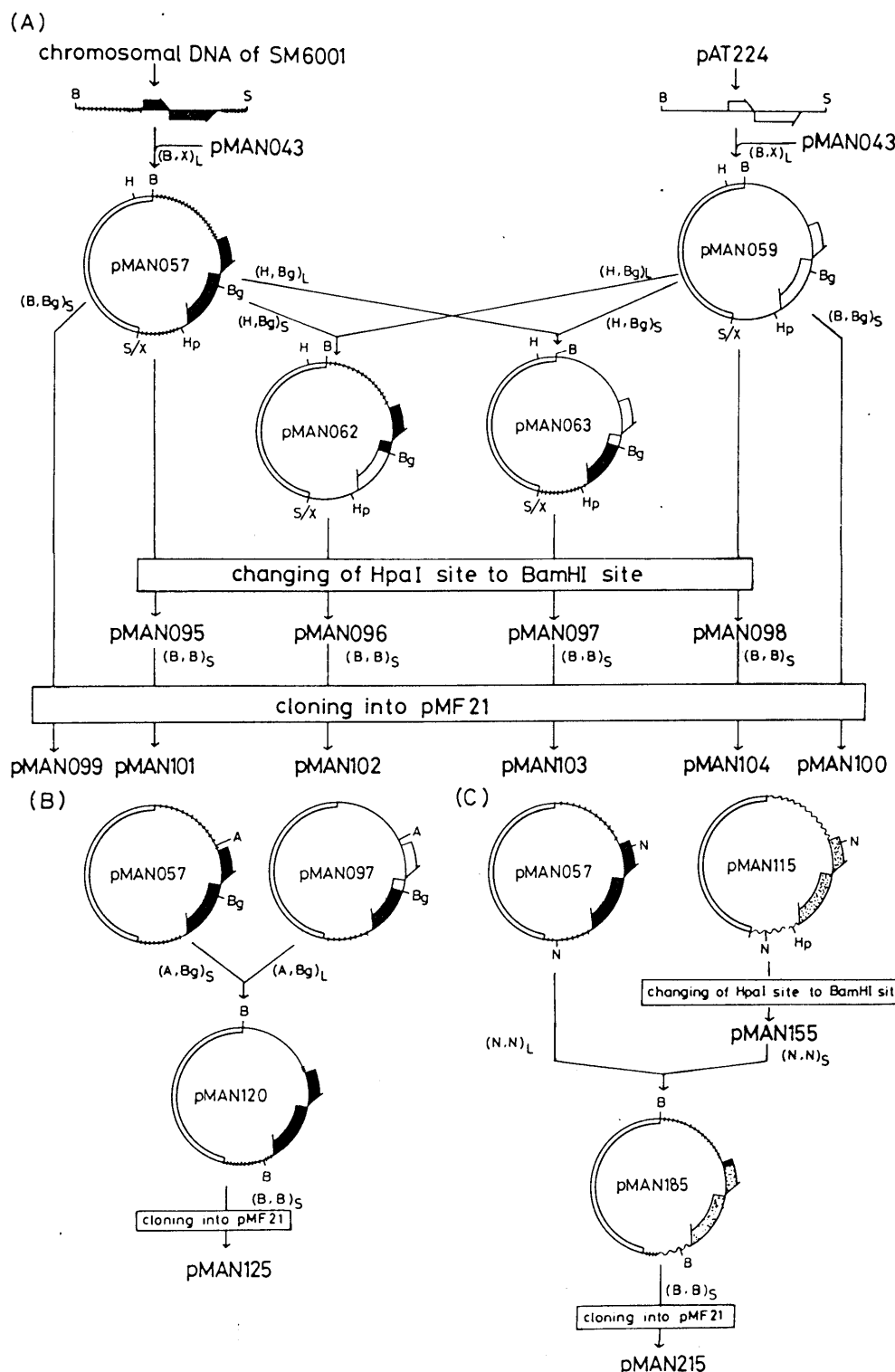
Effect of the copy number of *micF* on expression of *ompF*. Strains MC4100(pMAN055) (lanes 1), MC4100(pMAN056) (lanes 2), and MC4100 (lanes 3) were grown in (A) medium A and (B) medium A supplemented with 8% (wt/vol) sucrose. Triton X-100-insoluble fractions (25 µg of protein) were prepared from cell envelopes and analyzed on polyacrylamide gels. The positions of OmpC, OmpF, and OmpA are indicated.

Fig. 2-8



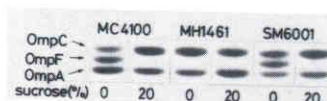
Pulse-labeling experiment. MC4100 (A) and SM3001 (B) were cultured at 37°C. At the logarithmic growth phase, sucrose was added to a final concentration of 15% (wt/vol), and then cells were labeled for 1 min at the indicated times with 10 μ Ci of [35 S]methionine. As a control, cells were labeled before the addition of sucrose. Outer membrane protein fractions were prepared from the labeled cells and analyzed on urea-SDS-polyacrylamide gels. The gels were then processed for fluorography. (C) MC4100 (lanes 1 and 2) and SM3001 (lanes 3 and 4) which had been cultured with the indicated concentrations of sucrose (wt/vol) were pulse-labeled with [35 S]methionine and then analyzed for outer membrane proteins as described for panels A and B. The arrowheads indicate the position of the OmpF protein. (D) The fluorograms shown in panels A and B were subjected to densitometric scanning to quantitate the amounts of the OmpF protein synthesized in 1 min at the indicated times. Symbols: ●, MC4100 (wild type); ○, SM3001 (Δ micF).

Fig. 3-1



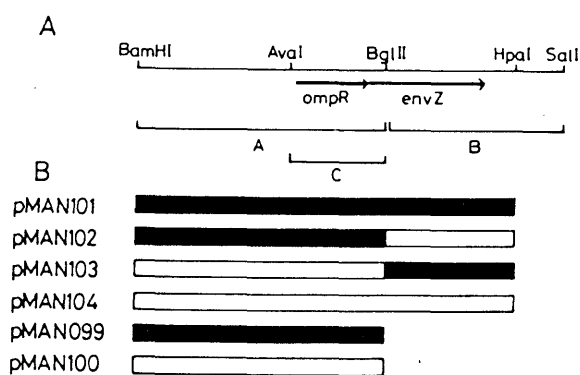
Construction of plasmids carrying the *ompB* region with various mutations. Symbols: and *ompR* and *envZ* genes derived from SM6001, respectively; and *ompR* and *envZ* genes derived from wild-type cells; and *ompR* and *envZ* genes derived from YO160; —, —, and ..., chromosomal DNA derived from SM6001, the *ompB*⁺ wild-type strain, and YO160, respectively; a DNA fragment from pMAN043. H, *Hind*III; B, *Bam*HI; Bg, *Bgl*II; Hp, *Hpa*I; S, *Sall*; X, *Xba*I; A, *Ava*I; N, *Nsp*V. Restriction sites are shown on plasmids. S and L outside the parentheses denote the smaller and larger fragments, respectively, formed on endonuclease digestion.

Fig. 3-2



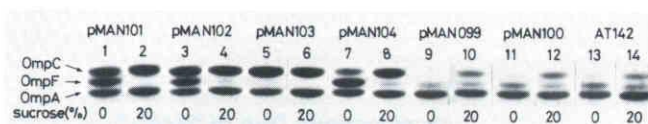
Expression of *ompF* and *ompC* in the *envZ* suppressor (*sez*) mutant. Strains MC4100 (wild type), MH1461 (*envZII*), and SM6001 (*envZII sez*) were grown with the indicated concentrations (wt/vol) of sucrose. Outer membrane protein fractions (25 µg of protein) were prepared from cell envelopes and analyzed on polyacrylamide gels. The positions of OmpC, OmpF, and OmpA are indicated.

Fig. 3-3



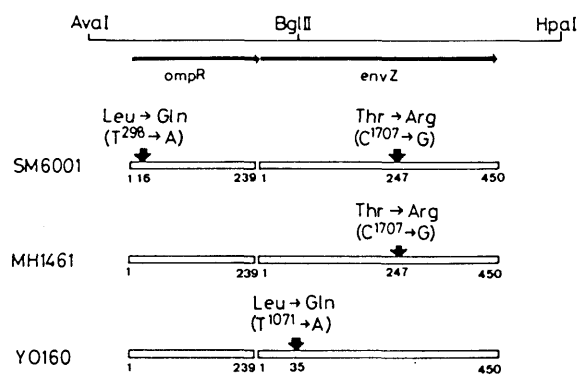
Restriction map around the *ompB* region cloned into pMF21. (A) The coding regions for the *ompR* and *envZ* genes are indicated by arrows. Fragment A is a 3.1-kb *Bam*HI-*Bgl*II fragment which contains the entire *ompR* gene, the coding region for the NH₂-terminal portion of the EnvZ protein, and an unknown region located upstream from the *ompB* promoter. Fragment B is a 1.4-kb *Bgl*II-*Hpa*I fragment which contains the coding region for the EnvZ protein devoid of the NH₂-terminal portion. Fragment C is a 1.2-kb *Aval*-*Bgl*II fragment carrying the entire *ompR* gene and the coding region for the NH₂-terminal portion of the EnvZ protein. (B) The *ompB* region cloned into pMAN101, pMAN102, pMAN103, pMAN104, pMAN099, and pMAN100 is indicated. The *Hpa*I site has been changed to a *Bam*HI site in all of these plasmids (cf. Fig. 1). ■ and □, Fragments derived from the *sez* mutant (SM6001) and the wild-type strain, respectively.

Fig. 3-4



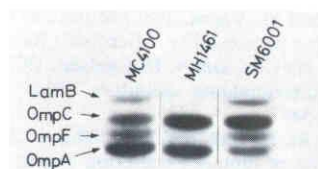
Expression of the *ompF* and *ompC* genes in SG480 Δ 76, a Δ *ompB* strain harboring the indicated plasmids. The gene constructions for individual plasmids are shown in Fig. 3. These strains were grown with the indicated concentrations (wt/vol) of sucrose, and then the outer membrane proteins were analyzed on polyacrylamide gels. Lanes 13 and 14 contained the proteins from AT142, a Δ *envZ* strain. The positions of OmpC, OmpF, and OmpA are indicated.

Fig. 3-5



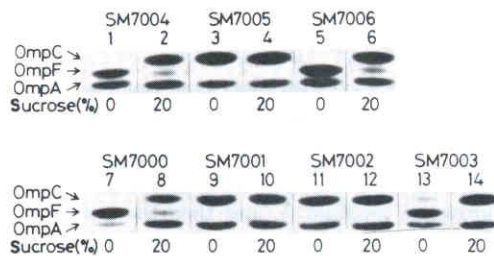
Summary of the base alterations and amino acid changes in the *ompB* regions of SM6001, MH1461, and YO160. Alterations in the nucleotide sequences and those in the deduced amino acid sequences are shown. The positions of the bases are shown as suffixed numbers, which were taken from the published nucleotide sequence for the *ompB* operon. The positions of amino acid residues in the OmpR and EnvZ portions are numbered from the respective NH₂ termini.

Fig. 3-6



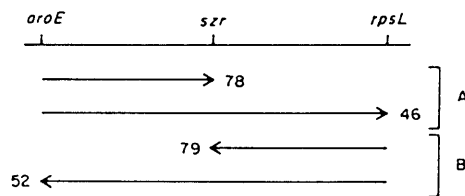
Expression of the LamB protein in MC4100, MH1461, and SM6001. MC4100 (wild type), MH1461 (*envZ11*), and SM6001 (*envZ11 ompR77*) were grown in M9 in the presence of 0.2% maltose (and 0.2% glycerol), and then the outer membrane proteins (25 µg) were analyzed on polyacrylamide gels. The positions of LamB, OmpC, OmpF, and OmpA are indicated.

Fig. 4-1



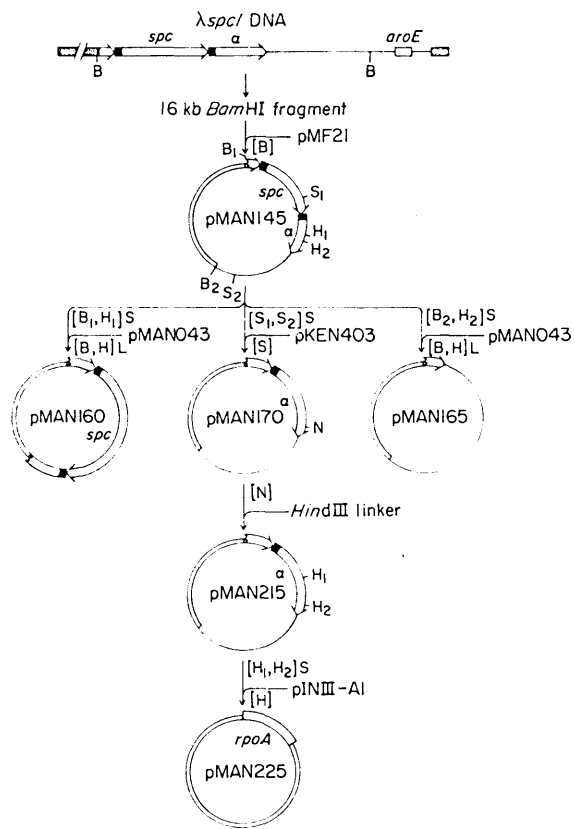
Effect of the *sxr* mutation on expression of the *ompF* and *ompC* genes regulated by the *envZ11* *ompR77* allele. SM7004 (*envZ*⁺ *ompR*⁺), SM7005 (*envZ11* *ompR*⁺) and SM7006 (*envZ11* *ompR77*) were constructed by transduction using SM6503 as the recipient and MC4100, MH1461 and SM6001, respectively, as the donors. SM7000 (*envZ*⁺ *ompR*⁺ *sxr*), SM7001 (*envZ11* *ompR*⁺ *sxr*) and SM7002 (*envZ11* *ompR77* *sxr*) were constructed similarly using AB2847 as the recipient. SM7003 (*envZ11* *ompR77* *sxr*⁺) was constructed by transduction using SM7002 as the recipient and SM6001 as the donor (see the text). Cells were grown with the indicated concentrations (w/v) of sucrose. Outer-membrane protein fractions (25 µg of protein) were analyzed on polyacrylamide gels. The positions of OmpC, OmpF and OmpA are indicated.

Fig. 4-2



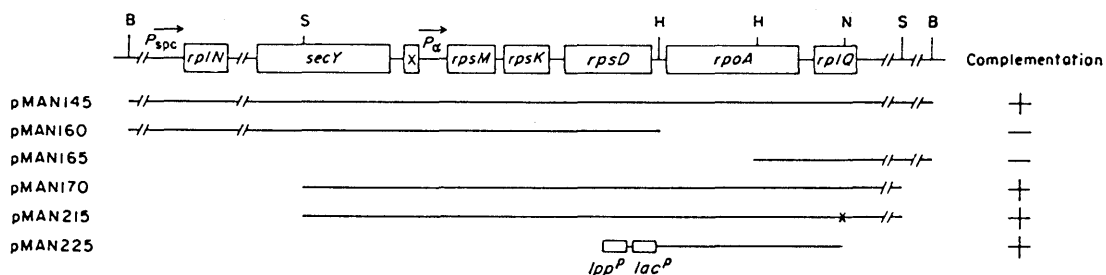
Chromosomal mapping of the *szr* mutation. The numbers represent the P1 cotransduction frequencies as percentages between the indicated markers. The selected and unselected markers are indicated by the arrow tails and the arrow heads, respectively. Lines A, SM7002 (*aroE*⁺ *rpsL*⁺ *envZ11* *ompR77* *szr*) and SM6502 (*aroE* *rpsL* *envZ11* *ompR77* *szr*⁺) were used as the donor and recipient, respectively. Lines B, SM6502 and SM7002 were used as the donor and recipient, respectively. In each case, at least 200 transductants were purified and scored.

Fig. 4-3



Construction of plasmids carrying various lengths of DNA in the *spc* operon-*aroE* gene region. denotes the ribosomal protein operons and the directions of transcription. The position of the promoter is indicated by . denotes truncated ribosomal protein operons devoid of the promoter. and denote DNA fragments derived from the chromosome, vector plasmid and bacteriophage λ , respectively. The restriction sites are shown on the plasmids: B, *Bam*HI; S, *Sma*II; H, *Hind*III; N, *Nru*I. When one enzyme cleaves more than one site of a plasmid, the sites are distinguished with suffixes, e.g. B₁ and B₂. S and L outside square brackets denote the smaller and larger fragments, respectively, formed on endonuclease digestion. kb, 10³ base-pairs.

Fig. 4-4



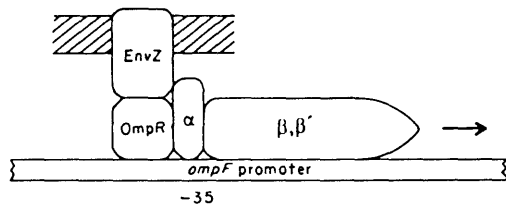
Plasmids carrying different portions of the DNA around the α operon. Genetic restriction maps around the α operon (Cerretti *et al.*, 1983; Meek & Hayward, 1984; Bedwell *et al.*, 1985) are shown. B, *Bam*H; S, *Sma*I; H, *Hind*III; N, *Nru*I. The lines under the map represent DNA fragments cloned on the indicated plasmids. The X indicates the position of insertion of the *Hind*III linker. The lipoprotein promoter (*lpp^P*) and the lactose promoter-operator (*lac^P*) in pMAN225 were derived from pINIII-A1. The results of complementation tests as to the *szz* mutation are also shown. + and - indicate, respectively, that the respective plasmids did or did not complement the *szz* mutation.

Fig. 4-5



Expression of the *ompF* and *ompC* genes in SM7002 harboring the indicated plasmids. These strains were grown in medium A, and then the outer-membrane proteins were analyzed on polyacrylamide gels. The outer-membrane protein profiles of SM7002 (*envZ11* *ompR77* *rpoA77*) and SM7003 (*envZ11* *ompR77* *rpoA⁺*) are presented as a control.

Fig. 4-6



Proposed arrangement of molecules around the *ompF* promoter. The subunit structure of RNA polymerase was according to the model proposed by Meisenberger *et al.* (1981). The σ subunit is not shown. The direction of transcription (\rightarrow) and the -35 region (-35) are indicated. ||||| denotes the cytoplasmic membrane.

謝辞

本研究の機会を与えていただき、終始、変わらぬ御指導、御鞭撻を賜わりました名古屋大学農学部教授、東京大学応用微生物研究所教授、水島昭二先生に厚く御礼申し上げます。

日々の研究討論を通じ、有益な御助言、御教示をいたしました名古屋大学農学部、水野猛先生に深く感謝致します。

本研究を遂行するにあたり、貴重な御意見、御助力をいたしました名古屋大学農学部、市原茂幸先生、山形秀夫先生、中村研三先生に深く感謝致します。

山田寿美博士をはじめとする名古屋大学農学部醸酵化学研究室の皆様、東京大学応用微生物研究所第4研究部の皆様の暖かい御協力に対して御礼申し上げます。

報文目録

1. Inokuchi, K., Mutoh, N., Matsuyama, S., and Mizushima, S. (1982)
Nucleic Acids Res. 10 : 6957.
2. Matsuyama, S., Inokuchi, K., and Mizushima, S. (1984)
J. Bacteriol. 158 : 1041.
3. Nara, F., Inokuchi, K., Matsuyama, S., and Mizushima, S. (1984)
J. Bacteriol. 159 : 688.
4. Matsuyama, S., and Mizushima, S. (1985)
J. Bacteriol. 162 : 1196.
5. Nara, F., Matsuyama, S., Mizuno, T., and Mizushima, S. (1986)
Mol. Gen. Genet. 202 : 194
6. Matsuyama, S., Mizuno, T., and Mizushima, S. (1986)
J. Bacteriol. 168 : 1309.
7. Matsuyama, S., and Mizushima, S. (1987)
J. Mol. Biol. 195 : 847.
8. Aiba, H., Matsuyama, S., Mizuno, T., and Mizushima, S. (1987)
J. Bacteriol. 169 : 3007.